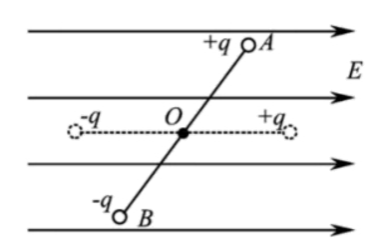
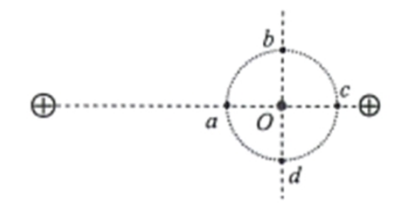
专题 09 静电场

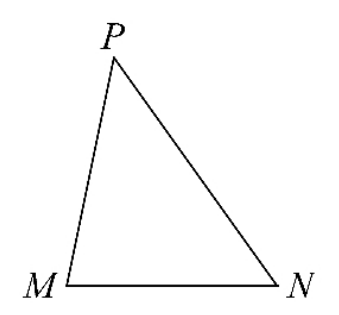
1. (2020·江苏省高考真题) 如图所示,绝缘轻杆的两端固定带有等量异号电荷的小球(不计重力)。开始时,两小球分别静止在 *A、B* 位置。现外加一匀强电场 *E*,在静电力作用下,小球绕轻杆中点 *O* 转到水平位置。取 *O* 点的电势为 0。下列说法正确的有(



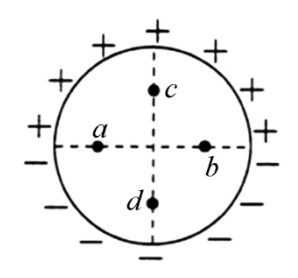
- A. 电场 E 中 A 点电势低于 B 点
- B. 转动中两小球的电势能始终相等
- C. 该过程静电力对两小球均做负功
- D. 该过程两小球的总电势能增加
- 2. (2020·山东省高考真题) 真空中有两个固定的带正电的点电荷,电荷量不相等。一个带负电的试探电荷置于二者连线上的 *O* 点时,仅在电场力的作用下恰好保持静止状态。过 *O* 点作两正电荷连线的垂线,以 *O* 点为圆心的圆与连线和垂线分别交于 *a*、*c* 和 *b*、*d*,如图所示。以下说法正确的是()



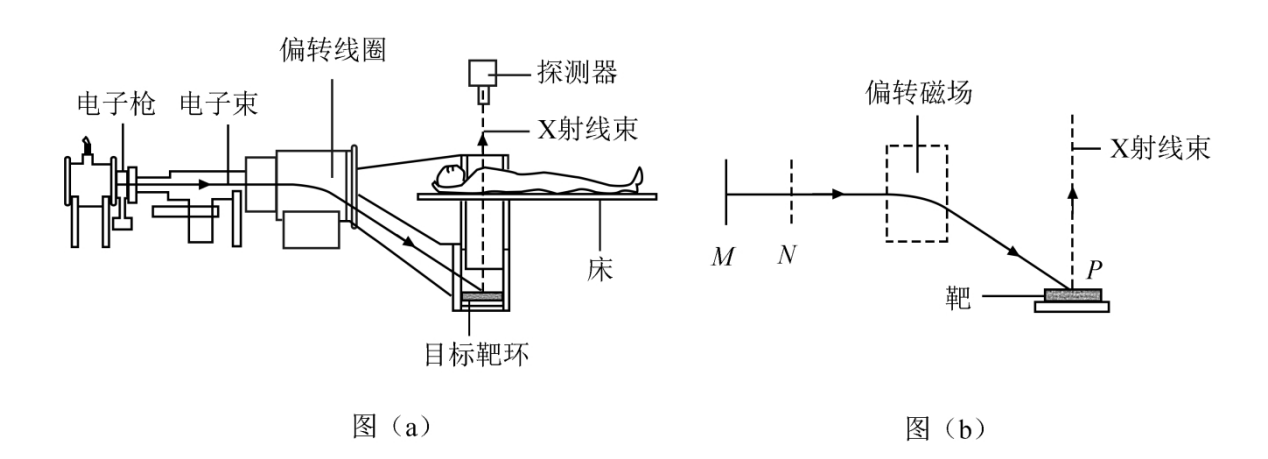
- A. a 点电势低于 O 点
- B. b 点电势低于 c 点
- C. 该试探电荷在 a 点的电势能大于在 b 点的电势能
- D. 该试探电荷在 c 点的电势能小于在 d 点的电势能
- 3. (2020·全国高考真题)如图, $\angle M$ 是锐角三角形 PMN 最大的内角,电荷量为 q (q>0)的点电荷固定在 P 点。下列说法正确的是(



- A. 沿MN 边,从M 点到N 点,电场强度的大小逐渐增大
- C. 正电荷在M点的电势能比其在N点的电势能大
- D. 将正电荷从M点移动到N点, 电场力所做的总功为负
- 4. (2020·全国高考课标 2 卷)如图,竖直面内一绝缘细圆环的上、下半圆分别均匀分布着等量异种电荷。*a*、*b* 为圆环水平直径上的两个点,*c*、*d* 为竖直直径上的两个点,它们与圆心的距离均相等。则(

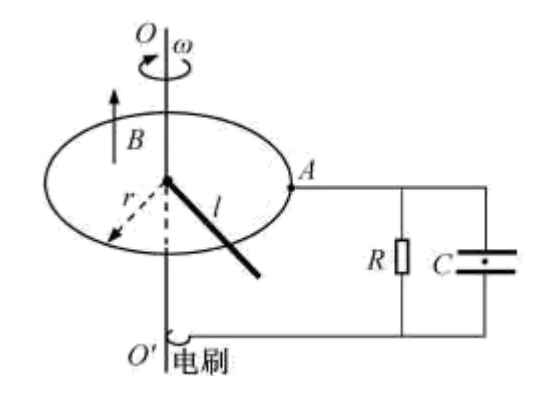


- A. a.b 两点的场强相等
- B_{i} a, b 两点的电势相等
- C. c.d 两点的场强相等
- D. $c \setminus d$ 两点的电势相等
- 5. (2020·全国高考课标 2 卷) CT 扫描是计算机 X 射线断层扫描技术的简称, CT 扫描机可用于对多种病情的探测。图 (a) 是某种 CT 机主要部分的剖面图, 其中 X 射线产生部分的示意图如图 (b) 所示。图 (b) 中 *M*、*N* 之间有一电子束的加速电场,虚线框内有匀强偏转磁场;经调节后电子束从静止开始沿带箭头的实线所示的方向前进,打到靶上,产生 X 射线(如图中带箭头的虚线所示);将电子束打到靶上的点记为 *P* 点。则 ()

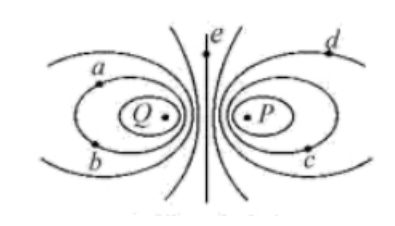


- A. M 处的电势高于 N 处的电势
- B. 增大 M、N 之间的加速电压可使 P 点左移
- C. 偏转磁场的方向垂直于纸面向外

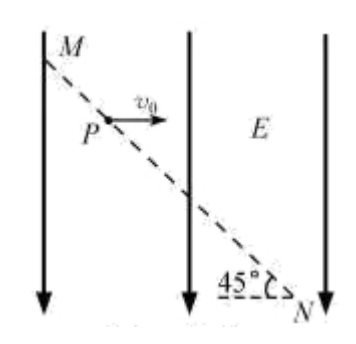
- D. 增大偏转磁场磁感应强度的大小可使 P 点左移
- 6. (2020·浙江省高考真题)如图所示,固定在水平面上的半径为r的金属圆环内存在方向竖直向上、磁感应强度大小为B的匀强磁场。长为l的金属棒,一端与圆环接触良好,另一端固定在竖直导电转轴OO'上,随轴以角速度 ω 匀速转动。在圆环的A点和电刷间接有阻值为R的电阻和电容为C、板间距为d的平行板电容器,有一带电微粒在电容器极板间处于静止状态。已知重力加速度为g,不计其它电阻和摩擦,下列说法正确的是(



- A. 棒产生的电动势为 $\frac{1}{2}Bl^2\omega$
- B. 微粒的电荷量与质量之比为 $\frac{2gd}{Br^2\omega}$
- C. 电阻消耗的电功率为 $\frac{\pi B^2 r^4 \omega}{2R}$
- D. 电容器所带的电荷量为 $CBr^2\omega$
- 7. (2020·浙江省高考真题)空间 P、Q 两点处固定电荷量绝对值相等的点电荷,其中 Q 点处为正电荷,P、Q 两点附近电场的等势线分布如图所示,a、b、c、d、e 为电场中的 5 个点,设无穷远处电势为 0,则(



- A. e 点的电势大于 0
- B. a 点和 b 点的电场强度相同
- C. b 点的电势低于 d 点的电势
- D. 负电荷从a点移动到c点时电势能增加
- 8. (2020·浙江省高考真题)如图所示,一质量为m、电荷量为q(q > 0)的粒子以速度 v_0 从MN 连线上的P点水平向右射入大小为E、方向竖直向下的匀强电场中。已知MN 与水平方向成 45°角,粒子的重力可以忽略,则粒子到达MN 连线上的某点时(



- A. 所用时间为 $\frac{mv_0}{qE}$
- B. 速度大小为3v₀
- C. 与 P 点的距离为 $\frac{2\sqrt{2}mv_0^2}{qE}$
- D. 速度方向与竖直方向的夹角为 30°

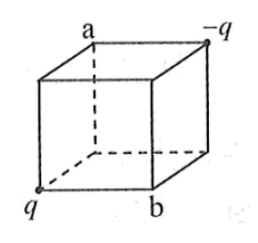
十年高考真题分类汇编(2010-2019) 物理

专题 09 静电场

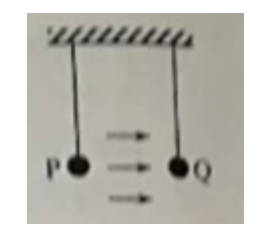
选择题

1.(2019•全国 II 卷•T7)静电场中,一带电粒子仅在电场力的作用下自 M 点由静止开始运动,N 为粒子运动轨迹上的另外一点,则

- A. 运动过程中, 粒子的速度大小可能先增大后减小
- B. 在M、N两点间,粒子的轨迹一定与某条电场线重合
- C. 粒子在M点的电势能不低于其在N点的电势能
- D. 粒子在N点所受电场力的方向一定与粒子轨迹在该点的切线平行
- 2.(2019•全国III卷•T8)如图,电荷量分别为 q 和-q(q>0)的点电荷固定在正方体的两个顶点上,
- a、b 是正方体的另外两个顶点。则



- A. a 点和 b 点的电势相等
- B. a 点和 b 点的电场强度大小相等
- C. a 点和 b 点的电场强度方向相同
- D. 将负电荷从a点移到b点,电势能增加
- 3.(2019•全国 I 卷•T2)如图,空间存在一方向水平向右的匀强电场,两个带电小球 P 和 Q 用相同的绝缘细绳悬挂在水平天花板下,两细绳都恰好与天花板垂直,则



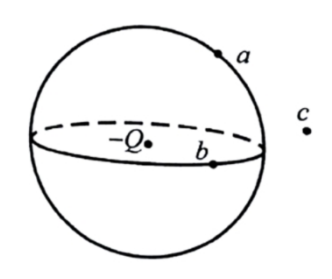
A.P和Q都带正电荷

B. P和Q都带负电荷

C.P 带正电荷,Q 带负电荷

D.P 带负电荷,Q 带正电荷

4.(2019•北京卷•T5)如图所示,a、b 两点位于以负点电荷—Q(Q>0)为球心的球面上,c 点在球面外,则



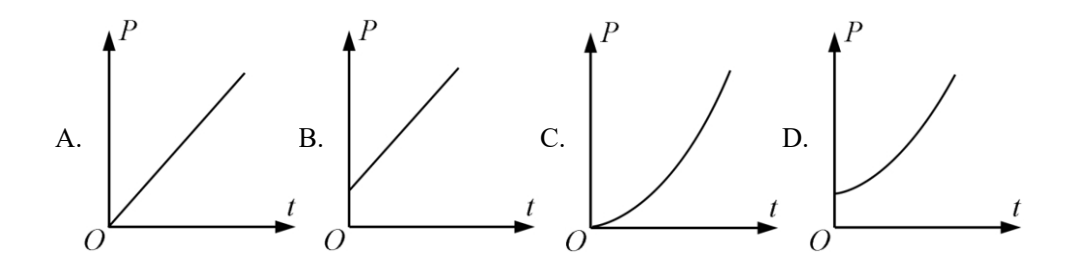
A. a 点场强的大小比 b 点大

B. b 点场强的大小比 c 点小

C. a 点电势比 b 点高

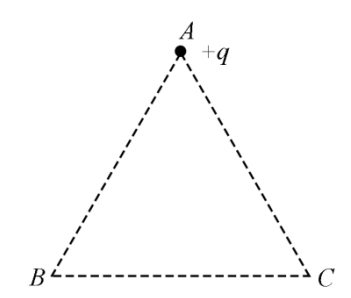
D.b 点电势比 c 点低

5.(2019 江苏卷 5)一匀强电场的方向竖直向上,t=0 时刻,一带电粒子以一定初速度水平射入该电场,电场力对粒子做功的功率为P,不计粒子重力,则P-t 关系图象是



6.(2019•江苏卷•T9)如图所示,ABC 为等边三角形,电荷量为+q 的点电荷固定在 A 点.先将一电荷量也为+q 的点电荷 Q_1 从无穷远处(电势为 0)移到 C 点,此过程中,电场力做功为-W. 再将 Q_1 从 C 点沿 CB 移到 B 点并固定.最后将一电荷量为-2q 的点电荷 Q_2 从无穷远处移到 C

点.下列说法正确的有



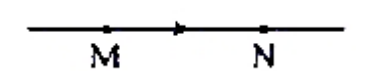
 $A.Q_1$ 移入之前,C点的电势为 $\frac{W}{q}$

 $B.Q_1$ 从 C 点移到 B 点的过程中,所受电场力做的功为 0

 $C.Q_2$ 从无穷远处移到 C点的过程中,所受电场力做的功为 2W

 $D.Q_2$ 在移到 C 点后的电势能为-4W

7.(2019•海南卷•T1)如图,静电场中的一条电场线上有M、N两点,箭头代表电场的方向,则



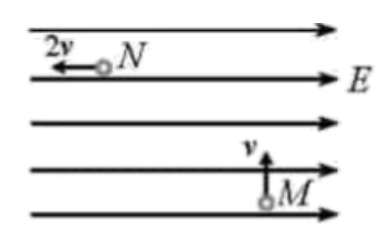
A.M 点的电势比 N 点的低

B.M 点的场强大小一定比 N 点的大

C.电子在M点的电势能比在N点的低

D.电子在M点受到的电场力大小一定比在N点的大

8.(2019•天津卷•T3)如图所示,在水平向右的匀强电场中,质量为 m 的带电小球,以初速度 v 从 M 点竖直向上运动,通过 v 点时,速度大小为 v 之v 方向与电场方向相反,则小球从 v 运动到 v 的过程



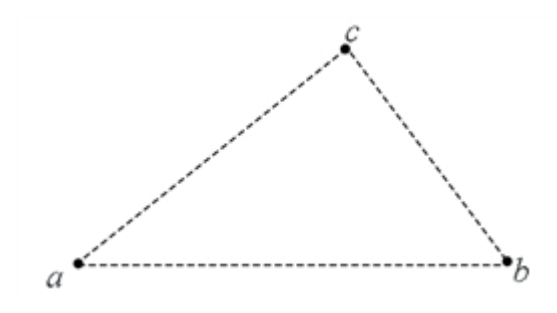
A. 动能增加 $\frac{1}{2}mv^2$

B. 机械能增加 2*m*υ²

C. 重力势能增加 $\frac{3}{2}mv^2$

D. 电势能增加 $2mv^2$

9.(2018·新课标 I 卷·T3)如图,三个固定的带电小球 a、b 和 c,相互间的距离分别为 ab=5 cm,bc=3 cm,ca=4 cm。小球 c 所受库仑力的合力的方向平衡于 a、b 的连线。设小球 a、b 所带电荷量的比值的绝对值为 k,则()



A. a、b 的电荷同号, $k = \frac{16}{9}$

B. a、b 的电荷异号, $k = \frac{16}{9}$

C. a、b 的电荷同号, $k = \frac{64}{27}$

D. a、b 的电荷异号, $k = \frac{64}{27}$

10.(2015·江苏卷·T2)静电现象在自然界中普遍存在,我国早在西汉末年已有对静电现象的记载《春秋纬 考异邮》中有玳瑁吸衣若之说,但下列不属于静电现象的是

A.梳过头发的塑料梳子吸起纸屑

- B.带电小球移至不带电金属球附近,两者相互吸引
- C.小线圈接近通电线圈过程中, 小线圈中产生电流
- D.从干燥的地毯走过, 手碰到金属把手时有被电击的感觉
- 11.(2016·浙江卷)如图所示,两个不带电的导体 A 和 B,用一对绝缘柱支持使它们彼此接触。把一带正电荷的物体 C 置于 A 附近,贴在 A、B 下部的金属箔都张开,



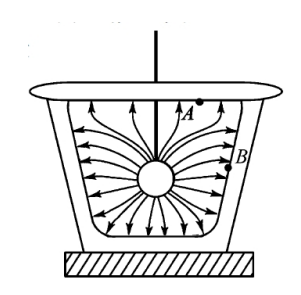
A.此时 A 带正电, B 带负电

B.此时 A 电势低, B 电势高

C.移去 C, 贴在 A、B 下部的金属箔都闭合

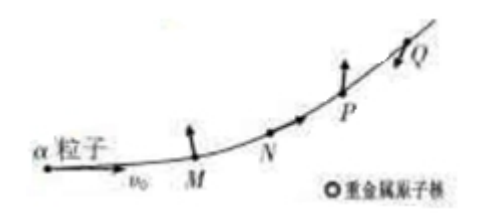
D.先把 A 和 B 分开, 然后移去 C, 贴在 A、B 下部的金属箔都闭合

12.(2016·江苏卷·T3)一金属容器置于绝缘板上,带电小球用绝缘细线悬挂于容器中,容器内的电场线分布如图所示.容器内表面为等势面,A、B 为容器内表面上的两点,下列说法正确的是



- A.A 点的电场强度比 B 点的大
- B.小球表面的电势比容器内表面的低
- C.B 点的电场强度方向与该处内表面垂直
- D.将检验电荷从 A 点沿不同路径移到 B 点, 电场力所做的功不同

13.(2015·安徽卷·T14)图示是 α 粒子(氦原子核)被重金属原子核散射的运动轨迹, M、N、P、Q 是轨迹上的四点, 在散射过程中可以认为重金属原子核静止不动。图 中所标出的 α 粒子在各点处的加速度方向正确的是

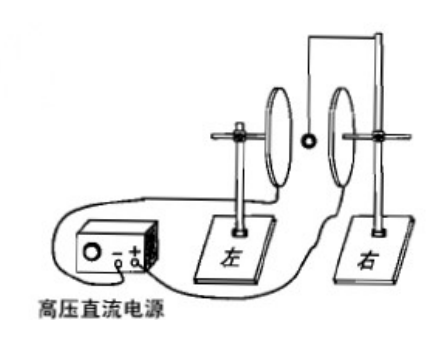


A.M 点

B.N 点 C.P 点

D.Q 点

14.(2015·浙江卷·T16)如图所示为静电力演示仪,两金属极板分别固定于绝缘支 架上,且正对平行放置。工作时两板分别接高压直流电源的正负极,表面镀铝的 乒乓球用绝缘细线悬挂在金属极板中间,则



- A.乒乓球的左侧感应出负电荷
- B.乒乓球受到扰动后,会被吸在左极板上

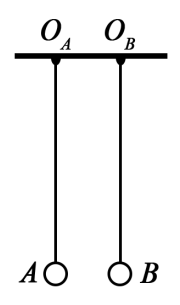
C.乒乓球共受到电场力, 重力和库仑力三个力的作用

D.用绝缘棒将乒乓球拨到与右极板接触,放开后乒乓球会在两极板间来回碰撞 15.(2011·海南卷)三个相同的金属小球 1.2.3.分别置于绝缘支架上,各球之间的距 离远大于小球的直径。球 1 的带电量为 q,球 2 的带电量为 nq,球 3 不带电且离 球 1 和球 2 很远,此时球 1、2 之间作用力的大小为 F。现使球 3 先与球 2 接触,再与球 1 接触,然后将球 3 移至远处,此时 1、2 之间作用力的大小仍为 F,方向不变。由此可知

16.(2015·安徽卷·T15)由库仑定律可知,真空中两个静止的点电荷,带电荷量分别为 q_1 和 q_2 。其间距离为 r 时,它们之间相互作用力的大小为 $F = k \frac{q_1q_2}{r^2}$,式中 k 为静电力常量。若用国际单位制的基本单位表示,k 的单位应为

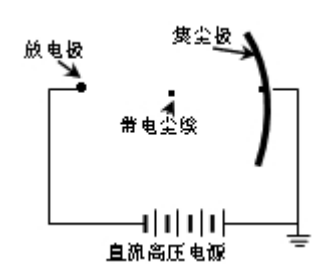
$$A.kg \cdot A^2 \cdot m^3 \qquad B.kg \cdot A^{-2} \cdot m^3 \cdot s^{-4} \qquad C.kg \cdot m^2 \cdot C^{-2} \qquad D.N \cdot m^2 \cdot A^{-2}$$

17.(2016·浙江卷·T19)如图所示, 把 A、B 两个相同的导电小球分别用长为 0.10 m 的绝缘细线悬挂于 O_A 和 O_B 两点。用丝绸摩擦过的玻璃棒与 A 球接触,棒移开后将悬点 O_B 移到 O_A 点固定。两球接触后分开,平衡时距离为 0.12 m。已测得每个小球质量是 8.0×10^4 kg,带电小球可视为点电荷,重力加速度 g = 10 m/s²,静电力常量 $k = 9.0 \times 10^9$ N·m²/C²,则



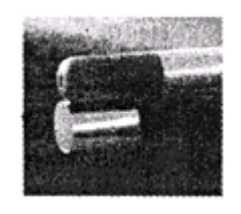
- A.两球所带电荷量相等
- B.A 球所受的静电力为 1.0×10-2 N
- C.B 球所带的电荷量为 $4\sqrt{6} \times 10^{-8}$ C
- D.A、B 两球连线中点处的电场强度为 0

18.(2011·广东卷)图为静电除尘器除尘机理的示意图。尘埃在电场中通过某种机制带电,在电场力的作用下向集尘极迁移并沉积,以达到除尘目的。下列表述正确的是



- A.到达集尘极的尘埃带正电荷
- B.电场方向由集尘极指向放电极
- C.带电尘埃所受电场力的方向与电场方向相同
- D.同一位置带电荷量越多的尘埃所受电场力越大

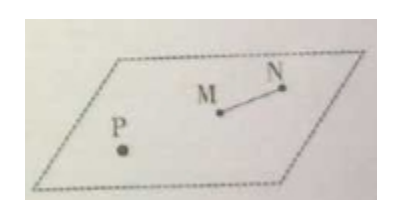
19.(2012·浙江卷)用金属箔做成一个不带电的圆环,放在干燥的绝缘桌面上。小明同学用绝缘材料做的笔套与头发摩擦后,将笔套自上而下慢慢靠近圆环,当距离约为 0.5cm 时圆环被吸引到笔套上,如图所示。对上述现象的判断与分析,下列说法正确的是



A.摩擦使笔套带电

- B. 笔套靠近圆环时, 圆环上、下部感应出异号电荷
- C.圆环被吸引到笔套的过程中, 圆环所受静电力的合力大于圆环的重力
- D.笔套碰到圆环后, 笔套所带的电荷立刻被全部中和

20.(2014·广东卷·T20)如图所示,光滑绝缘的水平桌面上,固定着一个带电荷量为+Q的小球 P。带电荷量分别为-q和+2q的小球 M和 N。由绝缘细杆相连,静止在桌面上。P与 M相距 L, P、M和 N视为点电荷。下列说法正确的是

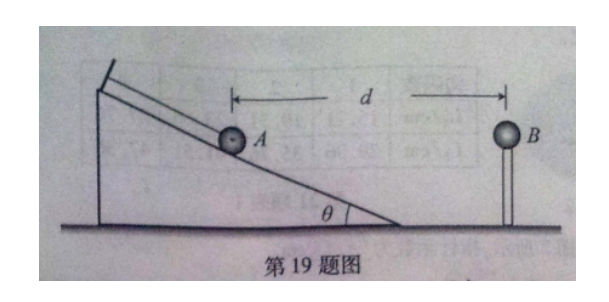


A.M 与 N 的距离大于 L

- B.P、M 和 N 在同一直线上
- C.在 P 产生的电场中, M、N 处的电势相同
- D.M、N 及细杆组成的系统所受合外力为零

21.(2014·浙江卷)如图所示,水平地面上固定一个光滑绝缘斜面,斜面与水平面的夹角为 θ 。一根轻质绝缘细线的一端固定在斜面顶端,另一端系有一个带电小球 A,细线与斜面平行。小球 A 的质量为 m、电量为 q。小球 A 的右侧固定放置

带等量同种电荷的小球 B, 两球心的高度相同、间距为 d。静电力常量为 k, 重力加速度为 g, 两带电小球可视为点电荷。小球 A 静止在斜面上,则()



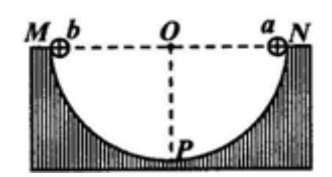
A.小球 A 与 B 之间库仑力的大小为 $k \frac{q^2}{d^2}$

B.当
$$\frac{q}{d} = \sqrt{\frac{mg\sin\theta}{k}}$$
时,细线上的拉力为 0

C.当
$$\frac{q}{d} = \sqrt{\frac{mg \tan \theta}{k}}$$
 时,细线上的拉力为 0

D.当
$$\frac{q}{d} = \sqrt{\frac{mg}{k \tan \theta}}$$
 时,斜面对小球 A 的支持力为 0

22.(2015·四川卷·T6)如图所示,半圆槽光滑、绝缘、固定,圆心是 O,最低点是 P, 直径 MN 水平, a、b 是两个完全相同的带正电小球(视为点电荷), b 固定在 M点, a 从 N 点静止释放,沿半圆槽运动经过 P 点到达某点 Q(图中未画出)时速度为零。则小球 a



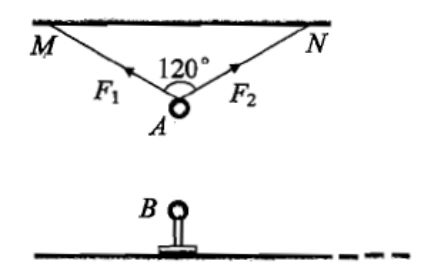
A.从 N 到 Q 的过程中, 重力与库仑力的合力先增大后减小

B.从 N 到 P 的过程中, 速率先增大后减小

C.从 N 到 Q 的过程中, 电势能一直增加

D.从 P 到 Q 的过程中, 动能减少量小于电势能增加量

23.(2015·浙江卷·T20)如图所示,用两根长度相同的绝缘细线把一个质量为 0.1kg 的小球 A 悬挂到水平板的 MN 两点,A 上带有 $Q=3.0\times10^{-6}$ C 的正电荷。两线夹角为 120°,两线上的拉力大小分别为 F_1 和 F_2 。A 的正下方 0.3m 处放有一带等量异种电荷的小球 B,B 与绝缘支架的总质量为 0.2kg(重力加速度取g=10m/s²;静电力常量 $k=9.0\times10^9$ N·m²/C²,AB 球可视为点电荷)则



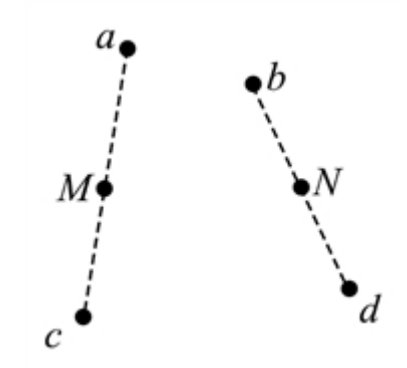
A.支架对地面的压力大小为 2.0N

B.两线上的拉力大小 $F_1 = F_2 = 1.9$ N

C.将 B 水平右移,使 M、A、B 在同一直线上,此时两线上的拉力大小 $F_1 = 1.225$ N, $F_2 = 1.0$ N

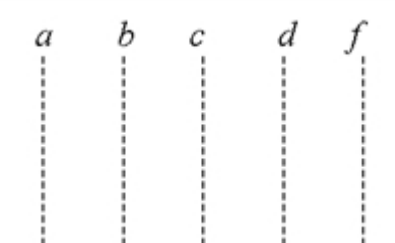
D.将 B 移到无穷远处,两线上的拉力大小 $F_1 = F_2 = 0.866$ N

24.(2018·全国 II 卷·T20)(多选)如图,同一平面内的 a、b、c、d 四点处于匀强电场中,电场方向与此平面平行,M 为 a、c 连线的中点,N 为 b、d 连线的中点。一电荷量为 q(q>0)的粒子从 a 点移动到 b 点,其电势能减小 W_1 :若该粒子从 c 点移动到 d 点,其电势能减小 W_2 ,下列说法正确的是(__)



- A. 此匀强电场的场强方向一定与 a、b 两点连线平行
- B. 若该粒子从 M 点移动到 N 点,则电场力做功一定为 $\frac{W_1+W_2}{2}$
- C. 若 c、d 之间的距离为 L,则该电场的场强大小一定为 $\frac{W_2}{qL}$
- D. 若 $W_1=W_2$,则 a、M 两点之间的电势差一定等于 b、N 两点之间的电势差 25.(2018·新课标 I 卷·T20)(多选)图中虚线 a、b、c、d、f 代表匀强电场内间距相等的 一组等势面,已知平面 b 上的电势为 2 V。一电子经过 a 时的动能为 10~eV,从 a

到 d 的过程中克服电场力所做的功为 6 eV。下列说法正确的是()



- A. 平面 c 上的电势为零
- B. 该电子可能到达不了平面 f
- C. 该电子经过平面 d 时, 其电势能为 4 eV
- D. 该电子经过平面 b 时的速率是经过 d 时的 2 倍

26.(2011·海南卷)关于静电场, 下列说法正确的是

A.电势等于零的物体一定不带电

B.电场强度为零的点, 电势一定为零

C.同一电场线上的各点, 电势一定相等

D.负电荷沿电场线方向移动时, 电势能一定增加

27.(2016·全国新课标III卷)关于静电场的等势面, 下列说法正确的是

A.两个电势不同的等势面可能相交

B.电场线与等势面处处相互垂直

C.同一等势面上各点电场强度一定相等

D.将一负的试探电荷从电势较高的等势面移至电势较低的等势面, 电场力做正功

28.(2016·上海卷)国际单位制中,不是电场强度的单位是

A.N/C B.V/m C.J/C D.T·m/s

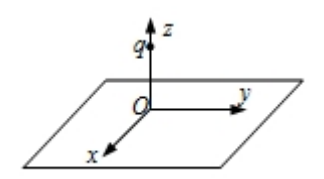
29.(2013·海南卷)如图,电荷量为 q_1 和 q_2 的两个点电荷分别位于 P 点和 Q 点。已知在 P、Q 连线至某点 R 处的电场强度为零,且 PR=2RQ。则

$$\begin{array}{cccc}
q_1 & q_1 \\
Q & R & Q
\end{array}$$

 $A.q_1=2q_2$ $B.q_1=4q_2$ $C.q_1=-2q_2$ $D.q_1=-4q_2$

30.(2013·安徽卷)如图所示, xOy 平面是无穷大导体的表面, 该导体充满 z<0 的空间, z>0 的空间为真空。将电荷量为 q 的点电荷置于 z 轴上 z=h 处,则在 xOy

平面上会产生感应电荷。空间任意一点处的电场皆是由点电荷 q 和导体表面上的 感应电荷共同激发的。已知静电平衡时导体内部场强处处为零,则在 z 轴上 z=h/2 处的场强大小为(k 为静电力常量)



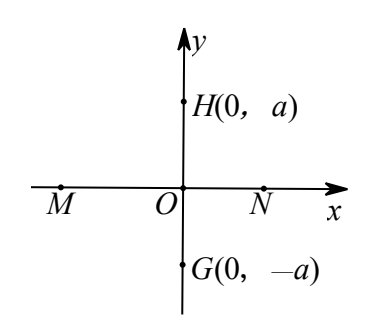
A.
$$k \frac{4q}{h^2}$$

B.
$$k \frac{4q}{9h^2}$$

$$C.k \frac{32q}{9h^2}$$

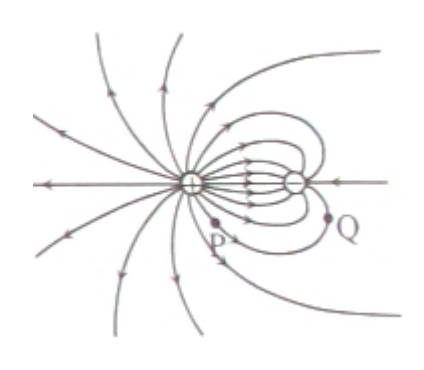
A.
$$k \frac{4q}{h^2}$$
 B. $k \frac{4q}{9h^2}$ C. $k \frac{32q}{9h^2}$ D. $k \frac{40q}{9h^2}$

31.(2015·山东卷·T18)直角坐标系 xOy 中, M、N 两点位于 x 轴上, G、H 两点坐 标如图, M、N 两点各固定一负点电荷, 一电量为 Q 的正点电荷置于 O 点时, G 点处的电场强度恰好为零。静电力常量用 k 表示。若将该正点电荷移到 G 点,则 H 点处场强的大小和方向分别为



- A. $\frac{3kQ}{4a^2}$, 沿 y 轴正向 B. $\frac{3kQ}{4a^2}$, 沿 y 轴负向
- $C.\frac{5kQ}{4a^2}$, 沿 y 轴正向 $D.\frac{5kQ}{4a^2}$, 沿 y 轴负向

32.(2015·上海卷·T8)两个正、负点电荷周围电场线分布如图所示, P、Q 为电场中 两点,则



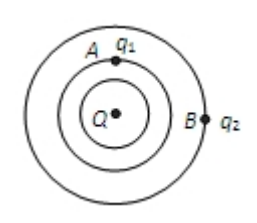
A.正电荷由 P 静止释放能运动到 Q

B.正电荷在 P 的加速度小于在 Q 的加速度

C.负电荷在 P 的电势能高于在 Q 的电势能

D.负电荷从 P 移动到 Q, 其间必有一点电势能为零

33.(2012·福建卷)如图,在点电荷 Q 产生的电场中,将两个带正电的试探电荷 q_1 、 q_2 分别置于 A、B 两点,虚线为等势线。取无穷远处为零电势点,若将 q_1 、 q_2 移动到无穷远的过程中外力克服电场力做的功相等,则下列说法正确的是



A.A 点电势大于 B 点电势

B.A、B 两点的电场强度相等

C.q₁的电荷量小于 q₂的电荷量

D.q1在A点的电势能小于q2在B点的电势能

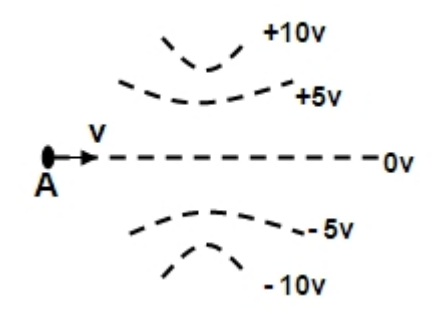
34.(2012·江苏卷)真空中, A、B 两点与点电荷Q 的距离分别为r 和3r, 则A、B 两点的电场

A.3:1 B.1:3 C.9:1 D.1:9

35.(2012·上海卷)A、B、C 三点在同一直线上, AB:BC=1:2, B 点位于 A、C 之间, 在 B 处固定一电荷量为 Q 的点电荷。当在 A 处放一电荷量为+q 的点电荷时, 它所受到的电场力为 F;移去 A 处电荷, 在 C 处放电荷量为-2q 的点电荷, 其所受电场力为(

A.-F/2 B.F/2 C.-F D.F

36.(2012·天津卷·T5)两个固定的等量异号电荷所产生电场的等势面如图中虚线所示,一带负电的粒子以某一速度从图中 A 点沿图示方向进入电场在纸面内飞行,最后离开电场,粒子只受到静电力作用,则粒子在电场中



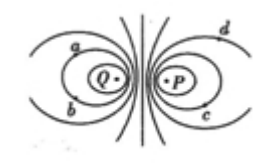
A.做直线运动, 电势能先变小后变大

B.做直线运动, 电势能先变大后变小

C.做曲线运动, 电势能先变小后变大

D.做曲线运动, 电势能先变大后变小

37.(2012·重庆卷)空间中 P、Q 两点处各固定一个点电荷, 其中 P 点处为正电荷, P 、Q 两点附近电场的等势面分布如题图 20 图所示, a、b、c、d 为电场中的 4 个点, 则

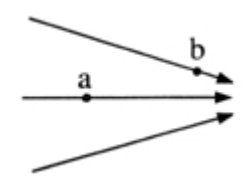


A.P、Q 两点处的电荷等量同种

B.a 点和 b 点的电场强度相同

C.c 点的电势低于 d 点的电势 D.负电荷从 a 到 c, 电势能减少

38.(2011·上海卷)电场线分布如图昕示, 电场中a, b两点的电场强度大小分别为 已知 E_a 和 E_b , 电势分别为 φ_a 和 φ_b , 则



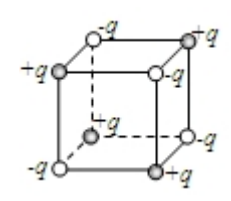
A.
$$E_a > E_b$$
, $\varphi_a > \varphi_b$

$$A. E_a > E_b , \quad \varphi_a > \varphi_b \qquad \qquad B. E_a > E_b , \quad \varphi_a < \varphi_b$$

$$C. E_a < E_b, \quad \varphi_a > \varphi_b \qquad \qquad D. E_a < E_b, \quad \varphi_a < \varphi_b$$

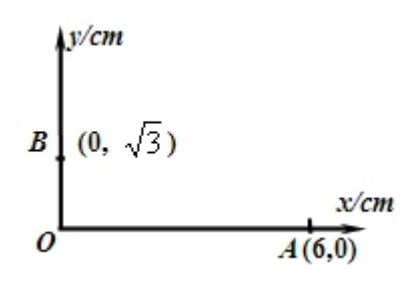
$$D.E_{\alpha} < E_{\nu}$$
, $\varphi_{\alpha} < \varphi_{\nu}$

40.(2011·重庆卷)如图所示, 电量为+q和-q的点电荷分别位于正方体的顶点, 正 方体范围内电场强度为零的点有



A.体中心、各面中心和各边中点

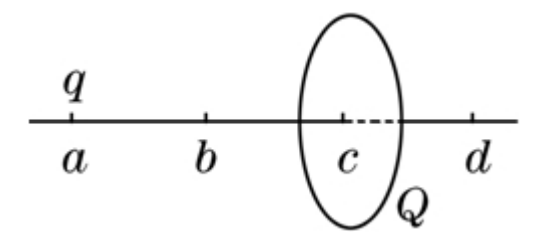
- B.体中心和各边中点
- C.各面中心和各边中点
- D.体中心和各面中心
- 41.(2012·安徽卷)如图所示, 在平面直角中, 有方向平行于坐标平面的匀强电场 ,其中坐标原点O处的电势为0 V,点 A 处的电势为6 V, 点 B 处的电势为3 V 则电场强度的大小为



A.200V/m

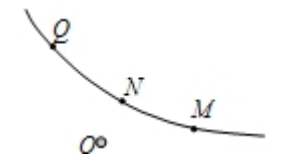
 $B.200\sqrt{3} \text{ V/m}$ C.100 V/m $D.100\sqrt{3} \text{ V/m}$

42.(2013·新课标全国卷 I)如图,一半径为 R 的圆盘上均匀分布着电荷量为 Q 的 电荷,在垂直于圆盘且过圆心 c 的轴线上有 a、b、d 三个点, a 和 b、b 和 c、c 和 d 间的距离均为 R, 在 a 点处有一电荷量为 q(q>0)的固定点电荷。已知 b 点处的 场强为零,则 d 点处场强的大小为(k 为静电力常量)



B. $k \frac{10q}{9R^2}$ C. $k \frac{Q+q}{R^2}$ D. $k \frac{9Q+q}{9R^2}$

43.(2013·重庆卷·T3)如题 3 图所示, 高速运动的 α 粒子被位于 O 点的重原子核散射, 实线表示 α 粒子运动的轨迹, M、N和 Q 为轨迹上的三点, N 点离核最近,Q 点比 M 点离核更远, 则



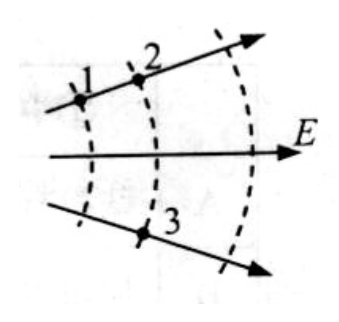
 $A.\alpha$ 粒子在 M 点的速率比在 Q 点的大

B.三点中, α 粒子在 N 点的电势能最大

C.在重核产生的电场中, M 点的电势比 Q 点的低

D.α 粒子从 M 点运动到 Q 点, 电场力对它做的总功为负功

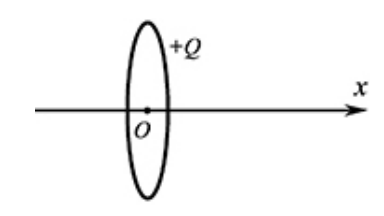
44.(2014·北京卷)如图所示,实线表示某静电场的电场线,虚线表示该电场的等势面。下列判断正确的是



A.1、2 两点的电场强度相等 B.1、3 两点的电场强度相等

C.1、2 两点的电势相等 D.2、3 两点的电势相等

45.(2014·江苏卷·T4)如图所示,一圆环上均匀分布着正电荷, x 轴垂直于环面且过圆心 O, 下列关于 x 轴上的电场强度和电势的说法中正确的是()



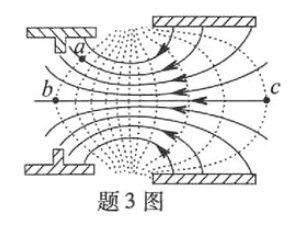
A.O 点的电场强度为零, 电势最低

B.O 点的电场强度为零, 电势最高

C.从 O 点沿 x 轴正方向, 电场强度减小, 电势升高

D.从 O 点沿 x 轴正方向, 电场强度增大, 电势降低

46.(2014·重庆卷)如题 3 图所示为某示波管内的聚焦电场,实线和虚线分别表示 电场线和等势线, 两电子分别从 a、b 两点运动到 c 点, 设电场力对两电子做的功 分别为 W_a 和 W_b , a、b 点的电场强度大小分别为 E_a 和 E_b , 则



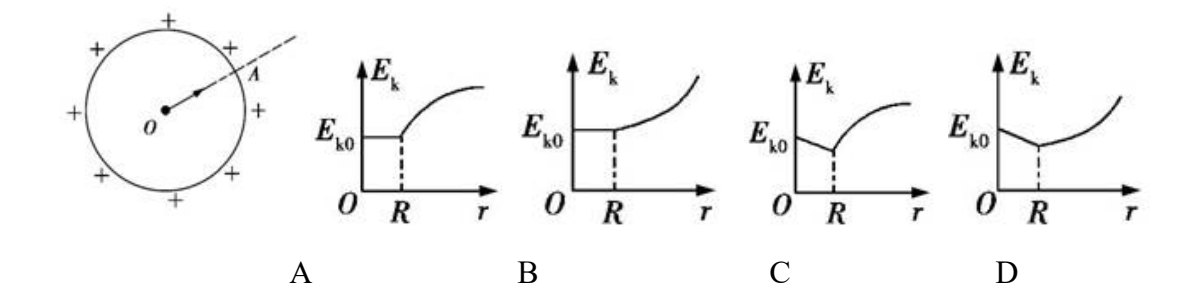
$$A. W_a = W_b, E_a > E_b \qquad B. \ W_a \neq W_b, E_a > E_b$$

B.
$$W_{ij} \neq W_{ij}, E_{ij} > E_{ij}$$

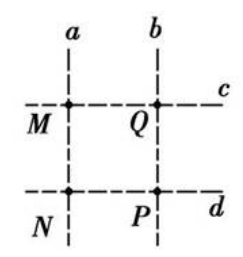
C.
$$W_a = W_b, E_a < E_b$$
 D. $W_a \neq W_b, E_a < E_b$

D.
$$W \neq W_i$$
, $E < E_i$

47.(2014·山东卷)如图, 半径为 R 的均匀带正电薄球壳, 其上有一小孔 A。已知壳 内的场强处处为零;壳外空间的电场与将球壳上的全部电荷集中于球心〇时在 壳外产生的电场一样。一带正电的试探电荷(不计重力)从球心以初动能 E_{k0} 沿 OA方向射出。下列关于试探电荷的动能 E_k 与离开球心的距离 r 的关系图象,可能正 确的是



48.(2015·全国新课标 I 卷·T15)如图所示,直线 a、b 和 c、d 是处于匀强电场中的两组平行线,M、N、P、Q 是它们的交点,四点处的电势分别为 ϕ_M 、 ϕ_N 、 ϕ_P ϕ_P 、 ϕ_Q 。一电子由 M 点分别运动到 N 点和 P 点的过程中,电场力所做的负功相等,则



A.直线 a 位于某一等势面内, $\phi_M > \phi_Q$

B.直线 c 位于某一等势面内, $\phi_M > \phi_N$

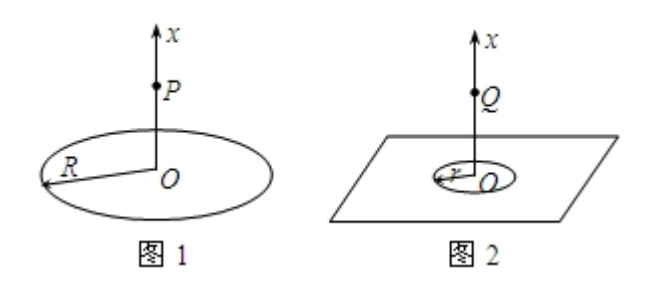
C.若电子有 M 点运动到 Q 点, 电场力做正功

D.若电子有 P 点运动到 Q 点, 电场力做负功

49.(2012·安徽卷)如图 1 所示,半径为 r 均匀带电圆形平板,单位面积带电量为 σ , 其轴线上任意一点 P(坐标为 x)的电场强度可以由库仑定律和电场强度的叠加原理求出:

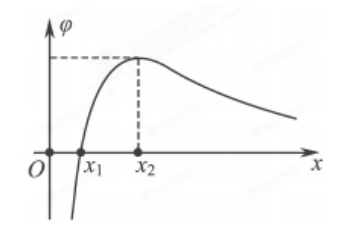
 $E=2\pi\kappa\sigma\left[1-\frac{x}{\left(r^2+x^2\right)^{\frac{1}{2}}}\right]$,方向沿 x 轴。现考虑单位面积带电量为 σ_0 的无限大均匀带电平板,从其中间挖去一半径为 r 的圆板,如图 2 所示。则圆孔轴线上任意

一点 Q(坐标为 x)的电场强度为



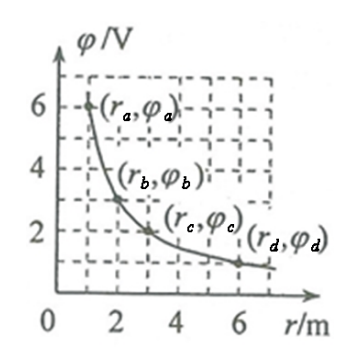
A.
$$2\pi\kappa \sigma_0 \frac{x}{\left(r^2 + x^2\right)^{\frac{1}{2}}}$$
 B. $2\pi\kappa \sigma_0 \frac{r}{\left(r^2 + x^2\right)^{\frac{1}{2}}}$ C. $2\pi\kappa \sigma_0 \frac{x}{r}$ D. $2\pi\kappa \sigma_0 \frac{r}{x}$

50.(2017·江苏卷)在 x 轴上有两个点电荷 q_1 、 q_2 ,其静电场的电势 ϕ 在 x 轴上分布 如图所示.下列说法正确有



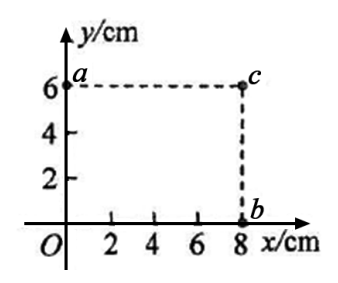
- (A)q1和 q2带有异种电荷
- (B)x₁处的电场强度为零
- (C)负电荷从 x_1 移到 x_2 , 电势能减小
- (D)负电荷从 x_1 移到 x_2 ,受到的电场力增大

51.(2017·新课标 I 卷·T20)在一静止点电荷的电场中,任一点的电势 φ 与该点到点电荷的距离 r 的关系如图所示。电场中四个点 a、b、c 和 d 的电场强度大小分别 E_a 、 E_b 、 E_c 和 E_d 。点 a 到点电荷的距离 r_a 与点 a 的电势 φ a 已在图中用坐标(r_a , φ a) 标出,其余类推。现将一带正电的试探电荷由 a 点依次经 b、c 点移动到 d 点,在相邻两点间移动的过程中,电场力所做的功分别为 W_{ab} 、 W_{bc} 和 W_{cd} 。下列选项正确的是



 $A.E_a : E_b = 4 : 1$ $B.E_c : E_d = 2 : 1$ $C.W_{ab} : W_{bc} = 3 : 1$ $D.W_{bc} : W_{cd} = 1 : 3$

52.(2017·新课标Ⅲ卷)—匀强电场的方向平行于 xOy 平面, 平面内 a、b、c 三点的位置如图所示, 三点的电势分别为 10 V、17 V、26 V。下列说法正确的是



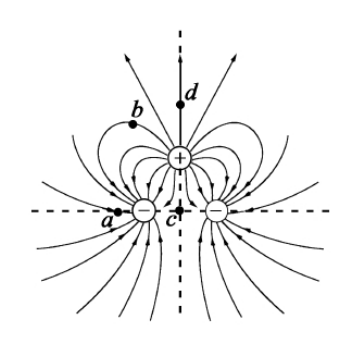
A.电场强度的大小为 2.5 V/cm

B.坐标原点处的电势为1V

C.电子在 a 点的电势能比在 b 点的低 7 eV

D.电子从 b 点运动到 c 点, 电场力做功为 9 eV

53.(2015·江苏卷·T8)两个相同的负电荷和一个正电荷附近的电场线分布如图所示 , c 时两负电荷连线的中点, d 点在正电荷的正上方, c、d 到正电荷的距离相等, 则



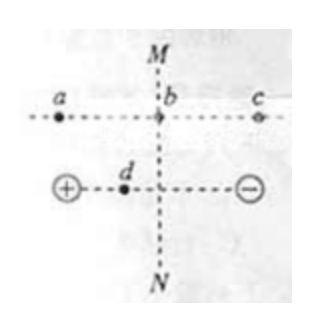
A.a 点的电场强度比 b 点的大

B.a 点的电势比 b 点的高

C.c 点的电场强度比 d 点的大

D.c 点的电势比 d 点的低

54.(2011·山东卷)如图所示,在两等量异种点电荷的电场中,MN为两电荷连线的中垂线,a、b、c 三点所在直线平行于两电荷的连线,,且 a 与 c 关于 MN 对称,b 点位于 MN 上,d 点位于两电荷的连线上。以下判断正确的是



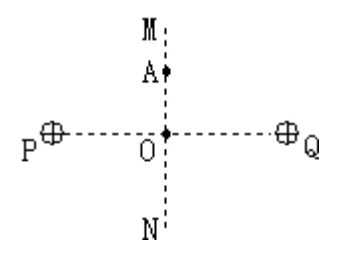
A.b 点场强大于 d 点场强

B.b 点场强小于 d 点场强

C.a、b 两点的电势差等于 b、c 两点间的电势差

D.试探电荷+q 在 a 点的电势能小于在 c 点的电势能

55.(2013·天津卷·T6)两个带等量正电的点电荷, 固定在图中 P、Q 两点, MN 为 PQ 连线的中垂线, 交 PQ 与 O 点, A 为 MN 上的一点, 一带负电的试探电荷 q, 从 A 点由静止释放,只在静电力作用下运动,取无限远处的电势为零,则



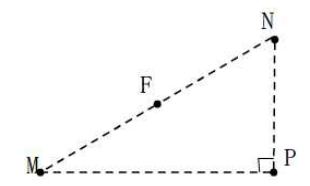
A.q 由 A 向 O 的运动是匀加速直线运动 B.q 由 A 向 O 运动的过程电势能逐 渐减小

C.q 运动到 O 点时的动能最大 D.q 运动到 O 点时电势能为零

56.(2014·新课标全国卷Ⅱ)关于静电场的电场强度和电势, 下列说法正确的是:

- A.电场强度的方向处处与等势面垂直
- B.电场强度为零的地方, 电势也为零
- C.随着电场强度的大小逐渐减小, 电势也逐渐降低
- D.任一点的电场强度总是指向该点电势降落最快的方向

57.(2014·新课标全国卷 I)如图, 在正电荷 Q 的电场中有 M、N、P 和 F 四点, M、 N、P 为直角三角形的三个顶点, F 为 MN 的中点, $\angle M = 30^{\circ}$, M、N、P、F 四点 处的电势分别用 φ_M 、 φ_N 、 φ_P 、 φ_F 表示,已知 $\varphi_M = \varphi_N$, $\varphi_P = \varphi_F$,点电荷 Q 在 M 、N、P 三点所在平面内,则()



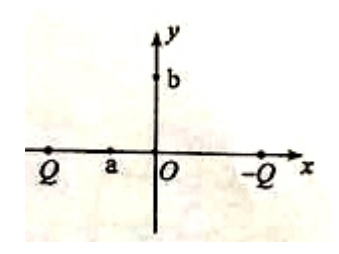
A、点电荷 Q 一定在 MP 连线上

B、连线 PF 一定在同一个等势面上

C、将正试探电荷从 P 点搬运到 N 点, 电场力做负功

D、 φ_P 大于 φ_M

58.(2015·海南卷·T7)如图, 两电荷量分别为 Q(Q>0)和-Q 的点电荷对称地放置在 x 轴上原点 Q 的两侧, q 总位于 q 轴 q 总点电荷 q 之间, q 位于 q 轴 q 点上 方。取无穷远处的电势为零,下列说法正确的是



A.b 点的电势为零, 电场强度也为零

B.正的试探电荷在 a 点的电势能大于零,所受电场力方向向右

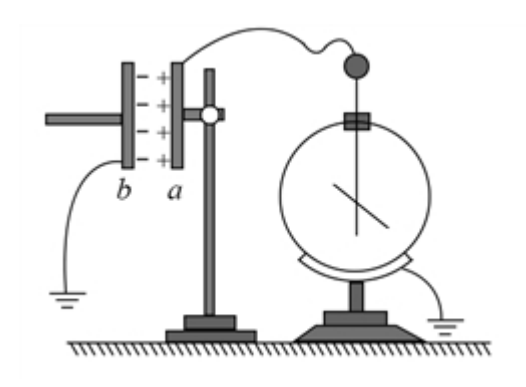
C.将正的试探电荷从 O 点移到 a 点, 必须克服电场力做功

D.将同一正的试探电荷先后从 O、b 点移到 a 点,后者电势能的变化较大 59.(2018·江苏卷·T5)如图所示,水平金属板 A、B 分别与电源两极相连,带电油 滴处于静止状态.现将 B 板右端向下移动一小段距离,两金属板表面仍均为等势面,则该油滴()



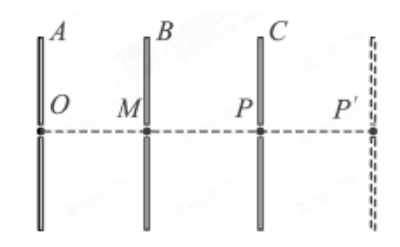
- A. 仍然保持静止
- B. 竖直向下运动
- C. 向左下方运动
- D. 向右下方运动

60.(2018·北京卷·T7)研究与平行板电容器电容有关因素的实验装置如图所示,下列说法正确的是



- A. 实验前,只用带电玻璃棒与电容器 a 板接触,能使电容器带电
- B. 实验中,只将电容器 b 板向上平移,静电计指针的张角变小
- C. 实验中, 只在极板间插入有机玻璃板, 静电计指针的张角变大
- D. 实验中,只增加极板带电量,静电计指针的张角变大,表明电容增大

61.(2017·江苏卷·T4)如图所示, 三块平行放置的带电金属薄板 A 、B 、C 中央各有一小孔, 小孔分别位于 O 、M 、P 点.由O 点静止释放的电子恰好能运动到 P 点. 现将 C 板向右平移到 P' 点,则由 O 点静止释放的电子



A.运动到P点返回 B.运动到P和P'点之间返回

C.运动到P'点返回 D.穿过P'点

62.(2016·浙江卷)以下说法正确的是

A.在静电场中, 沿着电场线方向电势逐渐降低

B.外力对物体所做的功越多, 对应的功率越大

C.电容器电容 C 与电容器所带电荷量 O 成正比

D.在超重和失重现象中, 地球对物体的实际作用力发生了变化

63.(2016·全国新课标 I 卷)—平行板电容器两极板之间充满云母介质,接在恒压 直流电源上,若将云母介质移出,则电容器

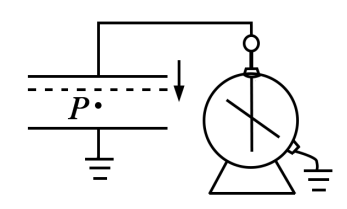
A.极板上的电荷量变大, 极板间的电场强度变大

B.极板上的电荷量变小, 极板间的电场强度变大

C.极板上的电荷量变大, 极板间的电场强度不变

D.极板上的电荷量变小, 极板间的电场强度不变

64.(2016·天津卷·T4)如图所示, 平行板电容器带有等量异种电荷, 与静电计相连, 静电计金属外壳和电容器下极板都接地。在两极板间有一个固定在P点的点电荷 ,以 E 表示两板间的电场强度, E_0 表示点电荷在 P 点的电势能, θ 表示静电计指 针的偏角。若保持下极板不动、将上极板向下移动一小段距离至图中虚线位置, 则



 $A.\theta$ 增大,E 增大 $B.\theta$ 增大, E_p 不变 $C.\theta$ 减小, E_p 增大 $D.\theta$

减小, E 不变

65.(2011·天津卷)板间距为 d 的平行板电容器所带电荷量为 Q 时,两极板间的电 势差为 U_1 ,板间场强为 E_1 。现将电容器所带电荷量变为 2Q,板间距变为 $\frac{1}{2}d$,

其他条件不变,这时两极板间电势差为 U₂,板间场强为 E₂,下列说法正确的是

 $A.U_2 = U_1$, $E_2 = E_1$ $B.U_2 = 2U_1$, $E_2 = 4E_1$

 $C.U_2 = U_1$, $E_2 = 2E_1$ $D.U_2 = 2U_1$, $E_2 = 2E_1$

66.(2012·江苏卷)一充电后的平行板电容器保持两极板的正对面积、间距和电荷量不变,在 两极板间插入一电介质,其电容C和两极板间的电势差U的变化情况是

B.C增大,U减小 A.C和U均增大

C.C减小,U增大 D.C和U均减小

67.(2013·新课标全国卷 I)一水平放置的平行板电容器的两极板间距为 d, 极板分 别与电池两极相连,上极板中心有一小孔(小孔对电场的影响可忽略不计)。小孔

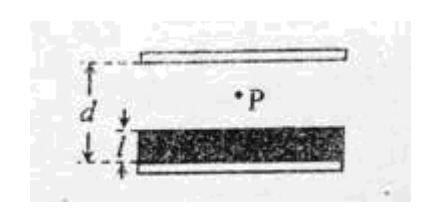
正上方 $\frac{d}{2}$ 处的 P 点有一带电粒子,该粒子从静止开始下落,经过小孔进入电容 器,并在下极板处(未与极板接触)返回。若将下极板向上平移 $\frac{d}{3}$,则从 P 点开始 下落的相同粒子将

A.打到下极板上

B.在下极板处返回

C.在距上极板 $\frac{d}{2}$ 处返回 D.在距上极板 $\frac{2d}{5}$ 处返回

68.(2014·海南卷·T4)如图,一平行板电容器的两极板与一电压恒定的电源相连, 极板水平放置, 极板间距为 d;在下极板上叠放一厚度为1的金属板, 其上部空 间有一带电粒子 P 静止在电容器中。当把金属板从电容器中快速抽出后, 粒子 P 开始运动。重力加速度为 g。粒子运动的加速度为



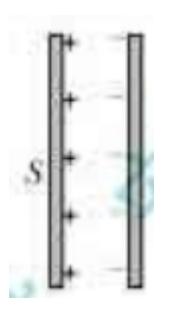
$$A.\frac{l}{d}g$$

A.
$$\frac{l}{d}g$$
 B. $\frac{d-l}{d}g$ C. $\frac{l}{d-l}g$ D. $\frac{d}{d-l}g$

$$C.\frac{l}{d-l}$$

$$D.\frac{d}{d-l}g$$

69.(2015·安徽卷·T20)已知均匀带电的无穷大平面在真空中激发电场的场强大小 为 $\frac{\delta}{2\varepsilon_{0}}$,其中 δ 为平面上单位面积所带的电荷量, ε_{0} 为常量。如图所示的平行板 电容器, 极板正对面积为 S, 其间为真空, 带电荷量为 Q。不计边缘效应时, 极 板可看作无穷大导体板,则极板间的电场强度大小和两极板间相互的静电引力大 小分别为



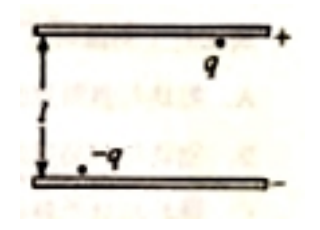
A.
$$\frac{Q}{\varepsilon_0 S}$$
和 $\frac{Q^2}{\varepsilon_0 S}$

B.
$$\frac{Q}{2\varepsilon_0 S}$$
和 $\frac{Q^2}{\varepsilon_0 S}$

$$A. \frac{Q}{\varepsilon_0 S} \pi \frac{Q^2}{\varepsilon_0 S} \qquad B. \frac{Q}{2\varepsilon_0 S} \pi \frac{Q^2}{\varepsilon_0 S} \qquad C. \frac{Q}{2\varepsilon_0 S} \pi \frac{Q^2}{2\varepsilon_0 S} \qquad D. \frac{Q}{\varepsilon_0 S} \pi \frac{Q^2}{2\varepsilon_0 S}$$

D.
$$\frac{Q}{\mathcal{E}_0^S}$$
和 $\frac{Q^2}{2\mathcal{E}_0^S}$

70.(2015·海南卷·T5) 如图所示, 一充电后的平行板电容器的两极板相距 1, 在正 极板附近有一质量为 M、电荷量为 q(q>0)的粒子, 在负极板附近有另一质量为 m 、电荷量为-q 的粒子, 在电场力的作用下, 两粒子同时从静止开始运动。已知两 粒子同时经过一平行于正极板且与其相距 $\frac{2}{5}$ l的平面。若两粒子间相互作用力可 忽略,不计重力,则 M:m 为



A.3:2

B.2:1

C.5: 2 D.3:1

71.(2015·全国新课标 II 卷·T14)如图所示, 两平行的带电金属板水平放置。 若在两 板中间 a 点从静止释放一带电微粒,微粒恰好保持静止状态。现将两板绕过 a 点 的轴(垂直于纸面)逆时针旋转 45°, 再由 a 点从静止释放一同样的微粒, 改微粒 将

•a

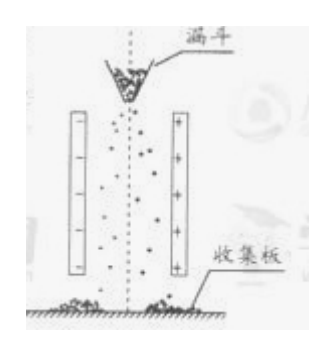
A.保持静止状态

B.向左上方做匀加速运动

C.向正下方做匀加速运动

D.向左下方做匀加速运动

72.(2012·广东卷)如图是某种静电矿料分选器的原理示意图,带电矿粉经漏斗落入水平匀强电场后,分落在收集板中央的两侧,对矿粉分离的过程,下列表述正确的有

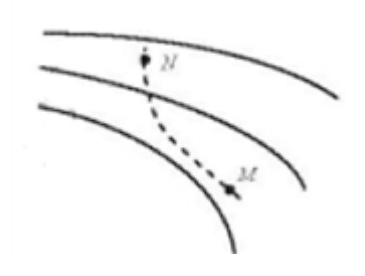


- A.带正电的矿粉落在右侧
- B.电场力对矿粉做正功
- C.带负电的矿粉电势能变大
- D.带正电的矿粉电势能变小

73.(2012·海南卷)将平行板电容器两极板之间的距离、电压、电场强度大小和极板 所带的电荷量分别用 d、U、E 和 Q 表示。下列说法正确的是

- A.保持 U 不变, 将 d 变为原来的两倍,则 E 变为原来的一半
- B.保持 E 不变, 将 d 变为原来的一半, 则 U 变为原来的两倍
- C.保持 d 不变, 将 Q 变为原来的两倍, 则 U 变为原来的一半
- D.保持 d 不变, 将 Q 变为原来的一半, 则 E 变为原来的一半

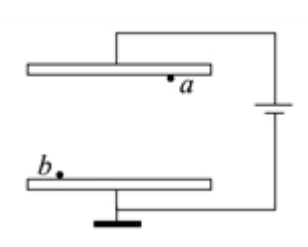
74.(2018·天津卷·T3)如图所示,实线表示某电场的电场线(方向未标出),虚线是一带负电的粒子只在电场力作用下的运动轨迹,设 M 点和 N 点的电势分别为 φ_M 、 φ_N ,粒子在 M 和 N 时加速度大小分别为 a_M 、 a_N ,速度大小分别为 v_M 、 v_N ,电势能分别为 E_{PM} 、 E_{PN} 。下列判断正确的是



A. $v_M < v_N$, $a_M < a_N$ B. $v_M < v_N$, $\varphi_M < \varphi_N$

C. $\varphi_M < \varphi_N$, $E_{PM} < E_{PN}$ D. $a_M < a_N$, $E_{PM} < E_{PN}$

75.(2018·全国 III 卷)(多选)如图,一平行板电容器连接在直流电源上,电容器的极板水平,两微粒 a、b 所带电荷量大小相等、符号相反,使它们分别静止于电容器的上、下极板附近,与极板距离相等。现同时释放 a、b,它们由静止开始运动,在随后的某时刻 t,a、b 经过电容器两极板间下半区域的同一水平面,a、b 间的相互作用和重力可忽略。下列说法正确的是

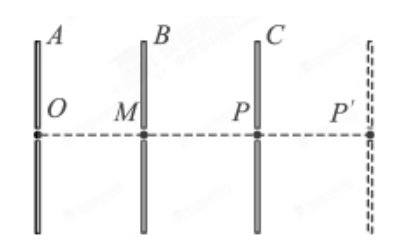


A. a 的质量比 b 的大

- B. 在 t 时刻, a 的动能比 b 的大
- C. 在 t 时刻, a 和 b 的电势能相等

D. 在 t 时刻, a 和 b 的动量大小相等

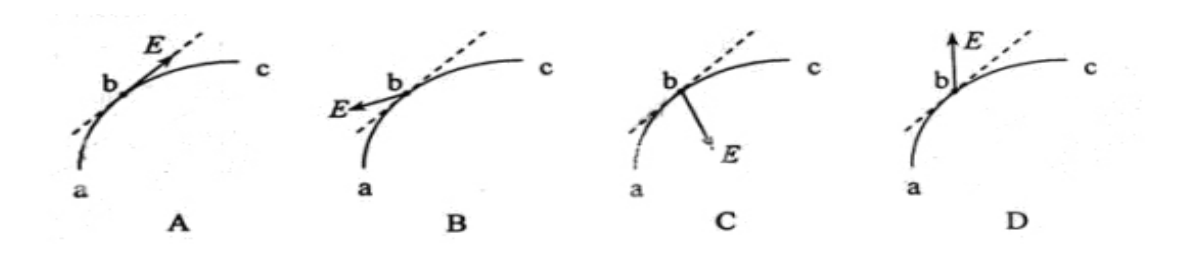
76.(2017·江苏卷)如图所示,三块平行放置的带电金属薄板 A 、B 、C 中央各有一小孔,小孔分别位于 O 、M 、P 点.由O 点静止释放的电子恰好能运动到 P 点.现将 C 板向右平移到 P' 点,则由 O 点静止释放的电子



- (A)运动到P点返回
- (B)运动到P和P'点之间返回
- (C)运动到P'点返回

(D)穿过 P'点

77.(2011·全国新课标卷·T20)一带负电荷的质点, 在电场力作用下沿曲线 abc 从 a 运动到 c, 已知质点的速度时递减的, 关于 b 点电场强度 E 的方向, 下列图示中可能正确的是(虚线时曲线在 b 点的切线)



78.(2016·全国新课标 II 卷)如图, P 为固定的点电荷,虚线是以 P 为圆心的两个圆。带电粒子 Q 在 P 的电场中运动,运动轨迹与两圆在同一平面内, a、b、c 为轨

迹上的三个点。若 Q 仅受 P 的电场力作用其在 a、b、c 点的加速度大小分别为 a。、 a_b、a_c, 速度大小分别为 v_a、v_b、v_c, 则



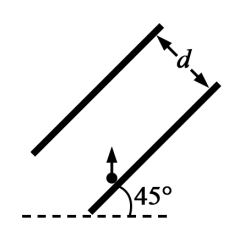
$$A.a_a > a_b > a_c, v_a > v_c > v_b$$

$$B.a_a > a_b > a_c, v_b > v_c > v_a$$

$$C.a_b>a_c>a_a$$
, $v_b>v_c>v_a$

$$D.a_b > a_c > a_a, v_a > v_c > v_b$$

79.(2016·海南卷)如图,平行板电容器两极板的间距为 d,极板与水平面成 45°角 ,上极板带正电。一电荷量为 q(q>0)的粒子在电容器中靠近下极板处,以初动能 E_{k0} 竖直向上射出。不计重力,极板尺寸足够大。若粒子能打到上极板,则两极板 间电场强度的最大值为



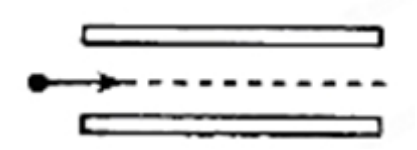
A.
$$\frac{E_{k0}}{4ad}$$

B.
$$\frac{E_{k0}}{2ad}$$

B.
$$\frac{E_{k0}}{2ad}$$
 C. $\frac{\sqrt{2}E_{k0}}{2ad}$ D. $\frac{\sqrt{2}E_{k0}}{ad}$

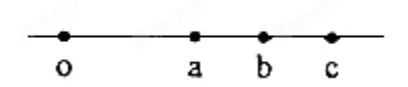
D.
$$\frac{\sqrt{2}E_{k0}}{ad}$$

80.(2012·海南卷)如图,在两水平极板间存在匀强电场和匀强磁场,电场方向竖 直向下, 磁场方向垂直于纸面向里。一带电粒子以某一速度沿水平直线通过两极 板。若不计重力,下列四个物理量中哪一个改变时,粒子运动轨迹不会改变?



A.粒子速度的大小 B.粒子所带电荷量 C.电场强度 D.磁感应强度

81.(2012·海南卷)如图,直线上有 o、a、b、c 四点,ab 间的距离与 bc 间的距离相等。在 o 点处有固定点电荷,已知 b 点电势高于 c 点电势。若一带负电电荷的粒子仅在电场力作用下先从 c 点运动到 b 点,再从 b 点运动到 a 点,则



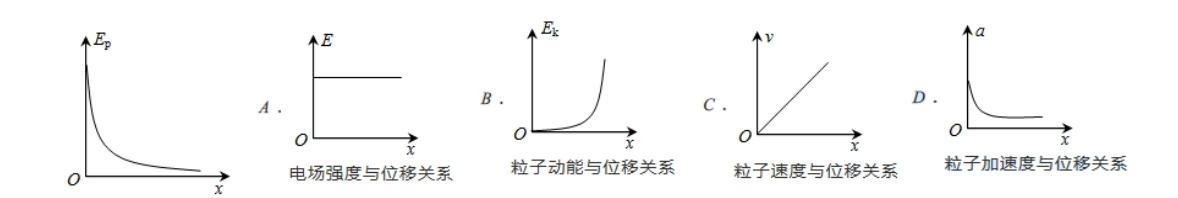
两过程中电场力做的功相等

前一过程中电场力做的功大于后一过程中电场力做的功

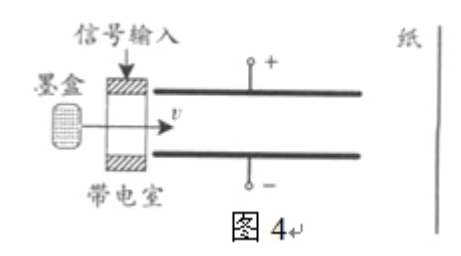
前一过程中, 粒子电势能不断减小

后一过程中, 粒子动能不断减小

82.(2014·安徽卷)一带电粒子在电场中仅受静电力作用,做初速度为零的直线运动,取该直线为 x 轴,起始点 O 为坐标原点,其电势能 E_p 与位移 x 的关系如图所示,下列图象中合理的是



83.(2013·广东卷·T5)喷墨打印机的简化模型如图所示,重力可忽略的墨汁微滴, 经带电室带负电后,以速度 v 垂直匀强电场飞入极板间,最终打在纸上,则微滴 在极板间电场中

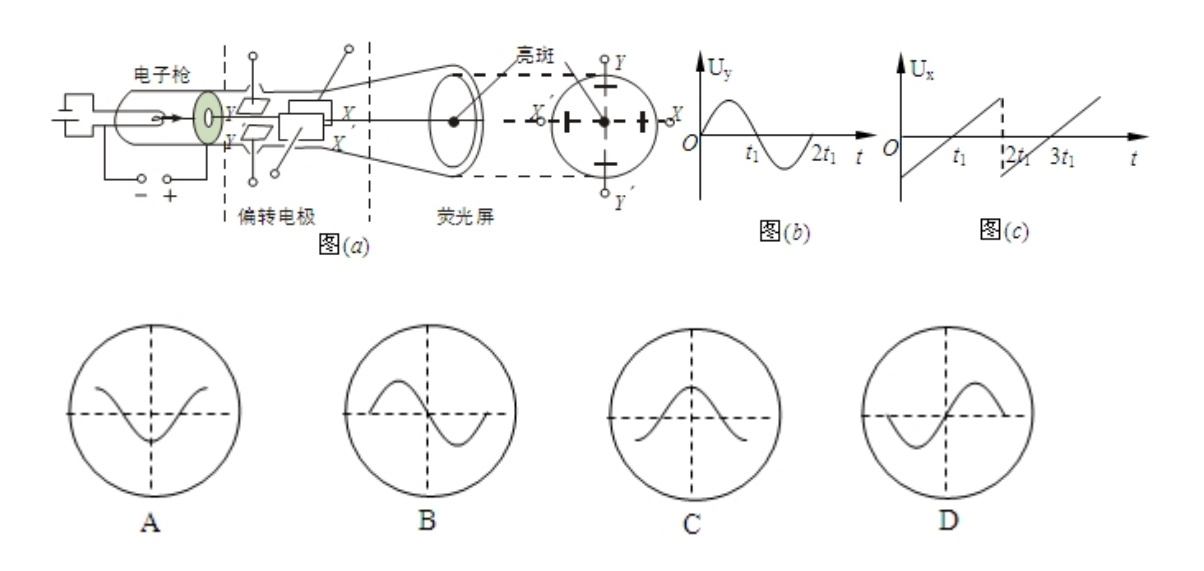


A.向负极板偏转

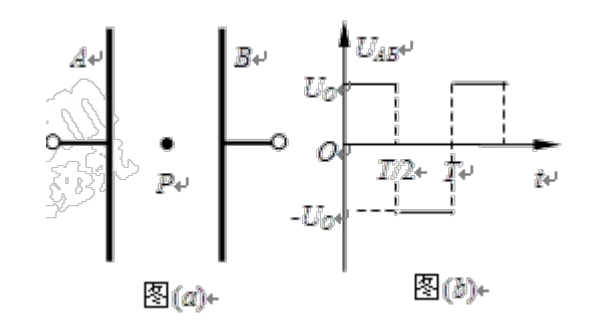
B.电势能逐渐增大

C.运动轨迹是抛物线

D.运动轨迹与带电量无关

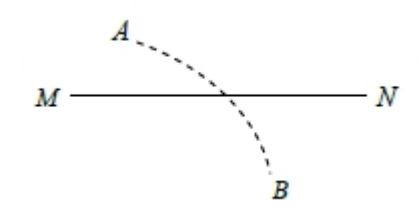


85.(2011·安徽卷)如图(a)所示,两平行正对的金属板 A、B 间加有如图(b)所示的交变电压,一重力可忽略不计的带正电粒子被固定在两板的正中间 P 处。若在 t_0 时刻释放该粒子,粒子会时而向 A 板运动,时而向 B 板运动,并最终打在 A 板上。则 t_0 可能属于的时间段是



A.
$$0 < t_0 < \frac{T}{4}$$
 B. $\frac{T}{2} < t_0 < \frac{3T}{4}$ C. $\frac{3T}{4} < t_0 < T$ D. $T < t_0 < \frac{9T}{8}$

86.(2017·天津卷·T7)如图所示,在点电荷 Q 产生的电场中,实线 MN 是一条方向 未标出的电场线,虚线 AB 是一个电子只在静电力作用下的运动轨迹。设电子在 A、B 两点的加速度大小分别为 a_A 、 a_B ,电势能分别为 E_{pA} 、 E_{pB} 。下列说法正确的 是



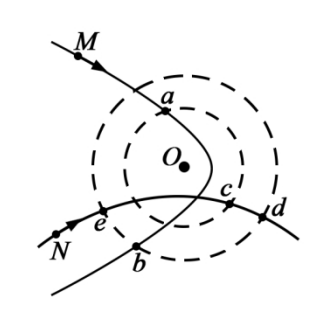
A.电子一定从 A 向 B 运动

B.若 $a_A > a_B$, 则 Q 靠近 M 端且为正电荷

C.无论 Q 为正电荷还是负电荷一定有 Epa<EpB

D.B 点电势可能高于 A 点电势

87.(2016·海南卷)如图,一带正电的点电荷固定于 O 点,两虚线圆均以 O 为圆心,两实线分别为带电粒子 M 和 N 先后在电场中运动的轨迹,a、b、c、d、e 为轨迹和虚线圆的交点。不计重力。下列说法说法正确的是



A.M 带负电荷, N 带正电荷

B.M 在 b 点的动能小于它在 a 点的动能

C.N 在 d 点的电势能等于它在 e 点的电势能

D.N 在从 c 点运动到 d 点的过程中克服电场力做功

88.(2016·全国新课标 I 卷)如图,一带负电荷的油滴在匀强电场中运动,其轨迹在竖直平面(纸面)内,且相对于过轨迹最低点 P 的竖直线对称。忽略空气阻力。由此可知



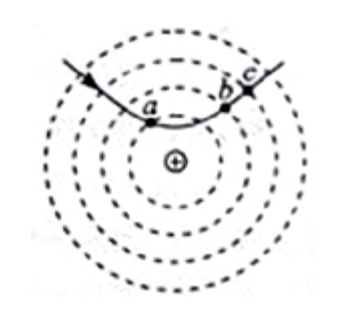
A.Q 点的电势比 P 点高

B.油滴在 Q 点的动能比它在 P 点的

大

C.油滴在 Q 点的电势能比它在 P 点的大 D.油滴在 Q 点的加速度大小比它在 P 点的小

89.(2012·山东卷)图中虚线为一组间距相等的同心圆,圆心处固定一带正电的点电荷。一带电粒子以一定初速度射入电场,实线为粒子仅在电场力作用下的运动轨迹, a、b、c 三点是实线与虚线的交点。则该粒子



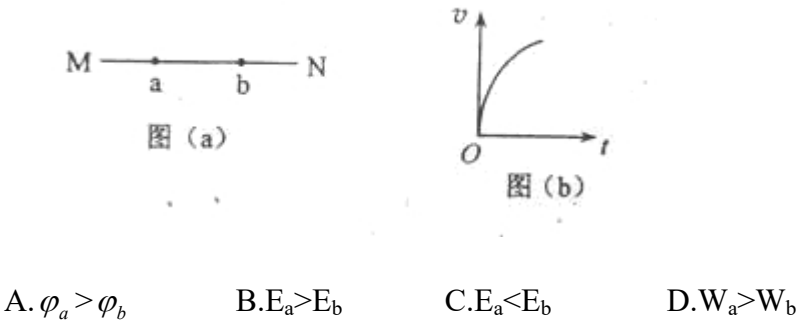
A.带负电

B.在 c 点受力最大

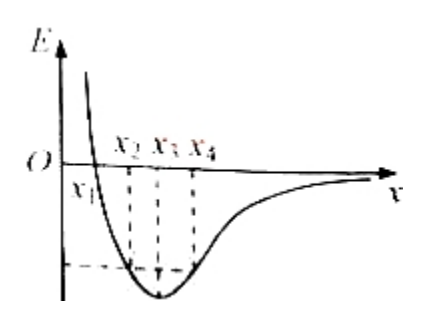
C.在 b 点的电势能大于在 c 点的电势能

D.由 a 点到 b 点的动能变化大于由 b 点到 c 点的动能变化

90.(2014·海南卷)如图(a),直线 MN 表示某电场中的一条电场线,a、b 是线上的两点,将一带负电荷的粒子从 a 点处由静止释放,粒子从 a 运动到 b 过程中的 v-t 图线如图(b)所示。设 a、b 两点的电势分别为 φ_a 、 φ_b ,场强大小分别为 E_a 、 E_b ,粒子在 a、b 两点的电势能分别为 W_a 、 W_b ,不计重力,则有



91.(2014·上海卷)静电场在 x 轴上的场强 E 随 x 的变化关系如图所示, x 轴正向为场强正方向, 带正电的点电荷沿 x 轴运动,则点电荷



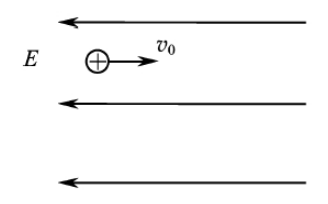
A.在 x₂和 x₄处电势能相等

B.由 x_1 运动到 x_3 的过程电势能增大

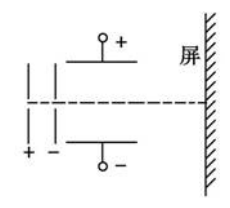
C.由 x₁ 运动到 x₄ 的过程电场力先增大后减小

D.由 x₁ 运动到 x₄ 的过程电场力先减小后增大

92.(2015·江苏卷·T7)一带正电的小球向右水平抛入范围足够大的匀强电场,电场方向水平向左,不计空气阻力,则小球



A.做直线运动 B.做曲线运动 C.速率先减小后增大 D.速率先增大后减小 93.(2015·天津卷·T7)(多选题)如图所示,氕核、氘核、氚核三种粒子从同一位置无 初速度地飘入电场线水平向右的加速电场 E_1 ,之后进入电场线竖直向下的匀强 电场 E_2 发生偏转,最后打在屏上,整个装置处于真空中,不计粒子重力及其相 互作用,那么



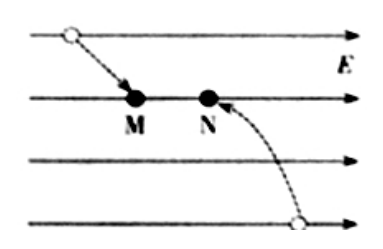
A.偏转电场 E, 对三种粒子做功一样多

B.三种粒子打到屏上时速度一样大

C.三种粒子运动到屏上所用时间相同

D.三种粒子一定打到屏上的同一位置,

94.(2015·广东卷·T21)如图所示的水平匀强电场中,将两个带电小球 M 和 N 分别 沿图示路径移动到同一水平线上的不同位置,释放后,MN 保持静止,不计重力 ,则

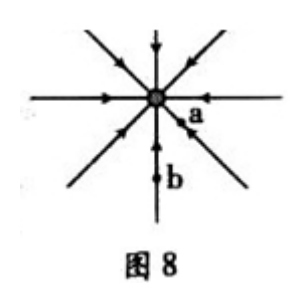


A.M 的带电量比 N 大

B.M 带负电荷, N 带正电荷

C.静止时 M 受到的合力比 N 大 D.移动过程中匀强电场对 M 做负功

95.(2010•广东卷•T21)图 8 是某一点电荷的电场线分布图, 下列表述正确的是

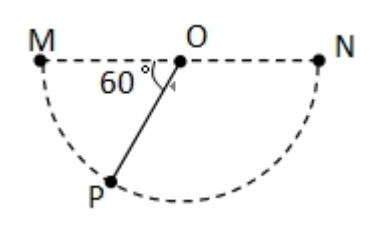


A.a 点的电势高于 b 点的电势

B.B.该点电荷带负电

C.a 点和 b 点电场强度的方向相同 D.a 点的电场强度大于 b 点的电场强度

96.(2010·海南卷·T4)如右图, M、N 和 P 是以 MN 为直径的半圈弧上的三点,O 点为半圆弧的圆心, \angle MOP=60°.电荷量相等、符号相反的两个点电荷分别置于 M、N 两点,这时 O 点电场强度的大小为 E_1 ;若将 N 点处的点电荷移至 P 点,则 O 点的场场强大小变为 E_2 , E_1 与 E_2 之比为



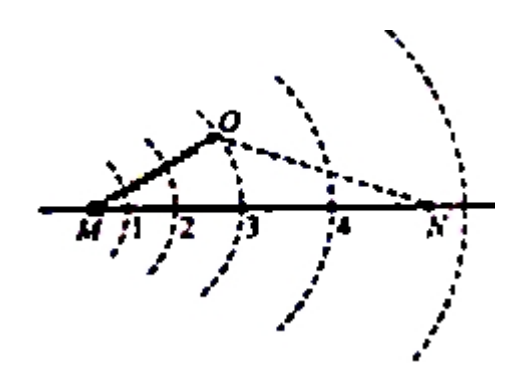
A.1:2 B.2:1 C.2: $\sqrt{3}$ D.4: $\sqrt{3}$

97.(2010·天津卷·T5)在静电场中,将一正电荷从 a 移动到 b 点,电场力做了负功,则

A.b 点的电场强度一定比 a 点大 B.电场线方向一定从 b 指向 a

C.b 点的电势一定比 a 点高 D.该电荷的动能一定减小

98.(2010·四川卷·T21)如图所示,圆弧虚线表示正点电荷电场的等势面,相邻两等势面间的电势差相等。光滑绝缘直杆沿电场方向水平放置并固定不动,杆上套有一带正电的小滑块(可视为质点),滑块通过绝缘轻弹簧与固定点 O 相连,并以某一初速度从 M 点运动到 N 点, OM < ON。若滑块在 M、N 时弹簧的弹力大小相等,弹簧始终在弹性限度内,则



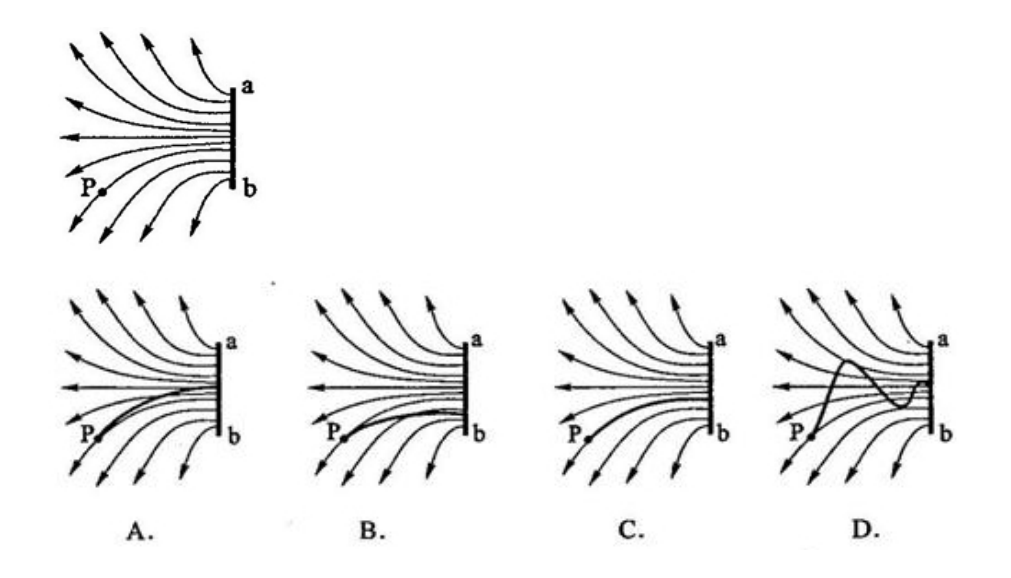
A、滑块从 M 到 N 的过程中, 速度可能一直增大

B、滑块从位置1到2的过程中, 电场力做的功比从位置3到4的小

C、在 M、N 之间的范围内,可能存在滑块速度相同的两个位置

D、在 M、N 之间可能存在只由电场力确定滑块加速度大小的三个位置

99.(2010·新课标 I 卷·T17)静电除尘器是目前普遍采用的一种高效除尘器。某除尘器模型的收尘板是很长的条形金属板,图中直线 ab 为该收尘板的横截面。工作时收尘板带正电,其左侧的电场线分布如图所示;粉尘带负电,在电场力作用下向收尘板运动,最后落在收尘板上。若用粗黑曲线表示原来静止于 P 点的带电粉尘颗粒的运动轨迹,下列 4 幅图中可能正确的是(忽略重力和空气阻力)



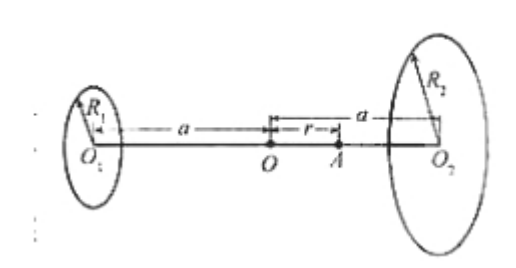
100.(2010·福建卷·T18)物理学中有些问题的结论不一定必须通过计算才能验证, 有时只需通过一定的分析就可以判

断结论是否正确。如图所示为两个彼此平等且共轴的半径分别为 R_1 和 R_2 的圆环,两圆环上

的电荷量均为q (q > 0),而且电荷均匀分布。两圆环的圆心 o_1 和 o_2 相距为 2a, 联线的中点

为o, 轴线上的A点在o点右侧与o点相距为r(r < a = 。试分析判断下列关于A 点处电场

强度大小E的表达式(式中k为静电力常量)正确的是



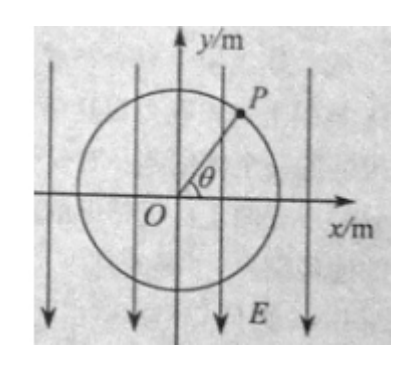
A..
$$E = \frac{kqR_1}{\left[R_1^2 + (a+r)^2\right]} - \frac{kqR_2}{\left[R_2^2 + (a-r)^2\right]}$$
 B.

$$E = \frac{kqR_1}{\left[R_1^2 + (a+r)^2\right]^{\frac{3}{2}}} - \frac{kqR_2}{\left[R_2^2 + (a-r)^2\right]^{\frac{3}{2}}}$$

C.
$$E = \frac{kq(a+r)}{\left\lceil R_1^2 + (a+r)^2 \right\rceil} - \frac{kq(a-r)}{\left\lceil R_2^2 + (a-r)^2 \right\rceil}$$
 D.

$$E = \frac{kq(a+r)}{\left[R_{1}^{2} + (a+r)^{2}\right]^{\frac{3}{2}}} - \frac{kq(a-r)}{\left[R_{2}^{2} + (a-r)^{2}\right]^{\frac{3}{2}}}$$

101.(2010·安徽卷·T16)如图所示,在xOy 平面内有一个以O为圆心、半径 R=0.1m 的圆,P 为圆周上的一点,O、P 两点连线与x 轴正方向的夹角为 θ 。若空间存在 治y 轴负方向的匀强电场,场强大小E=100V/m,则O、P 两点的电势差可表示为



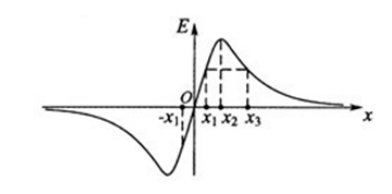
A.
$$U_{op} = -10\sin\theta(V)$$

B.
$$U_{op} = 10 \sin \theta(V)$$

C.
$$U_{op} = -10\cos\theta(V)$$

D.
$$U_{op} = 10\cos\theta(V)$$

103.(2010·江苏卷·T5)空间有一沿 x 轴对称分布的电场, 其电场强度 E 随 X 变化的图像如图所示。下列说法正确的是



A.O 点的电势最低

 $B.X_2$ 点的电势最高

 $C.X_1$ 和 $-X_1$ 两点的电势相等 $D.X_1$ 和 X_3 两点的电势相等

104.(2010·全国 I 卷·T16)关于静电场, 下列结论普遍成立的是

A. 电场中任意两点之间的电势差只与这两点的场强有关

B.电场强度大的地方电势高, 电场强度小的地方电势低

C.将正点电荷从场强为零的一点移动到场强为零的另一点, 电场力做功为零

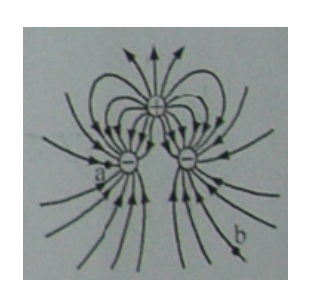
D.在正电荷或负电荷产生的静电场中, 场强方向都指向电势降低最快的方向

105.(2010·全国 II 卷·T17)在雷雨云下沿竖直方向的电场强度为10⁴ V/m, 已知一半 径为 1 mm 的雨滴在此电场中不会下落,取重力加速度大小为 10m/s^2 ,水的密度

为 10^3 kg/ m^3 。这雨滴携带的电荷量的最小值约为

 $A.2 \times 10^{-9} \, C$ $B.4 \times 10^{-9} \, C$ $C.6 \times 10^{-9} \, C$ $D.8 \times 10^{-9} \, C$

106.(2010·上海卷·T9)三个点电荷电场的电场线分布如图所示,图中a、b两点出 的场强大小分别为 E_a 、 E_b , 电势分别为 φ_a 、 φ_b , 则



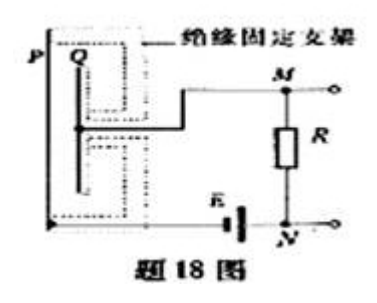
A. $E_a > E_b$, $\varphi_a > \varphi_b$

B. $E_a < E_b$, $\varphi_a < \varphi_b$

C. $E_a > E_b$, $\varphi_a < \varphi_b$

D. $E_a < E_b$, $\varphi_a > \varphi_b$

107.(2010·重庆卷·T18)某电容式话筒的原理示意图如题 18 图所示, E 为电源, R 为电阻, 薄片 P 和 Q 为两金属基板.对着话筒说话时, P 振动而 Q 可视为不动, 在 P、Q 间距增大过程中,



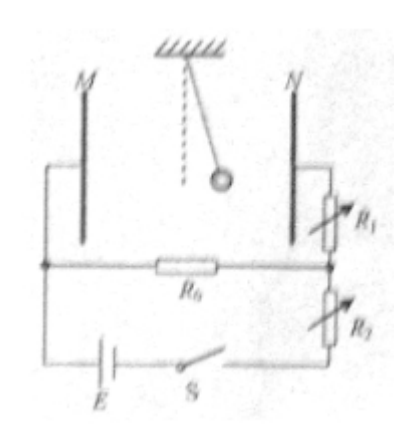
A.P、Q 购车的电容器的电容增大

B.P 上电荷量保持不变

C.M 点的电势比点 N 的低

D.M 点的电势比点 N 的高

108.(2010·安徽卷·T18)如图所示,M、N 是平行板电容器的两个极板, R_0 为定值电阻, R_1 、 R_2 为可调电阻,用绝缘细线将质量为m、带正电的小球悬于电容器内部。闭合电键 S,小球静止时受到悬线的拉力为 F。调节 R_1 、 R_2 ,关于 F 的大小判断正确的是



A.保持 R_1 不变,缓慢增大 R_2 时,F 将变大

B.保持 R_1 不变,缓慢增大 R_2 时,F 将变小

C.保持 R_2 不变,缓慢增大 R_1 时,F将变大

D.保持 R_2 不变,缓慢增大 R_1 时,F 将变小

109.(2010·浙江卷·T15)请用学过的电学知识判断下列说法正确的是

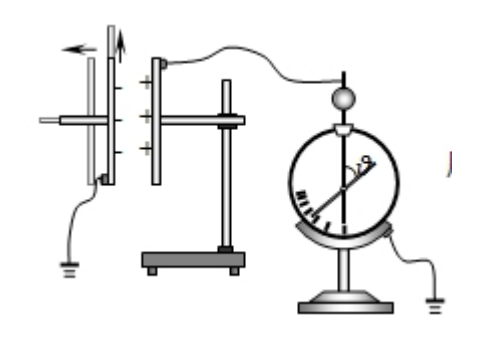
A.电工穿绝缘衣比穿金属衣安全

B.制作汽油桶的材料用金属比用塑料好

C.小鸟停在单根高压输电线上会被电死

D.打雷时, 呆在汽车里比呆在木屋里要危险

110.(2010·北京卷·T18)用控制变量法,可以研究影响平行板电容器电容的因素(如图)。设两极板正对面积为S,极板间的距离为d,静电计指针偏角为 θ 。实验中,极板所带电荷量不变,若



A.保持S不变,增大d,则 θ 变大

B.保持S不变,增大d,则 θ 变小

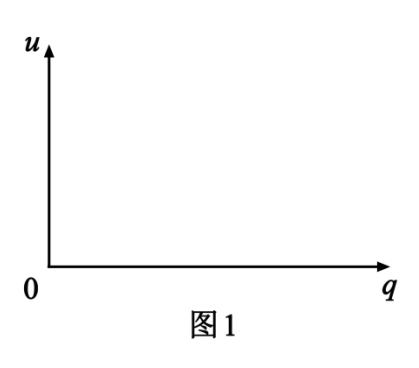
C.保持 d 不变, 减小 S, 则 θ 变小

D.保持 d 不变, 减小 S, 则 θ 不变

非选择题:

111.(2019•北京卷•T11)电容器作为储能器件,在生产生活中有广泛的应用。对给定电容值为 C 的电容器充电,无论采用何种充电方式,其两极间的电势差u 随电荷量q 的变化图像都相 同。

(1)请在图 1 中画出上述 u-q 图像。类比直线运动中由 v-t 图像求位移的方法,求两极间电压为 U 时电容器所储存的电能 E_p 。



(2)在如图 2 所示的充电电路中,R 表示电阻,E 表示电源(忽略内阻)。通过改变电路中元件的参数对同一电容器进行两次充电,对应的 q-t 曲线如图 3 中①②所示。

a.①②两条曲线不同是 (选填 E 或 R)的改变造成的;

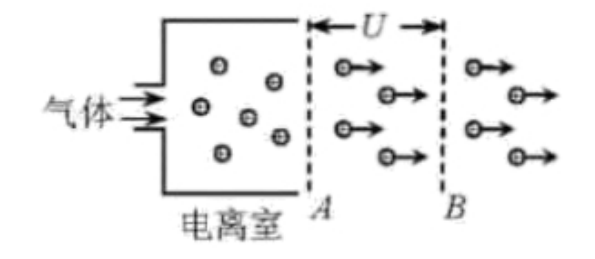
b.电容器有时需要快速充电,有时需要均匀充电。依据 a 中的结论,说明实现这两种充电方式的途径。

 $\begin{array}{c|c}
C & R \\
\hline
 & 1 \\
\hline
 & 2 \\
\hline
 & 83
\end{array}$

(3)设想使用理想的"恒流源"替换(2)中电源对电容器充电,可实现电容器电荷量随时间均匀增加。请思考使用"恒流源"和(2)中电源对电容器的充电过程,填写下表(选填"增大"、"减小"或"不变")。

	"恒流源"	(2)中电源
电源两端电压		
通过电源的电流		

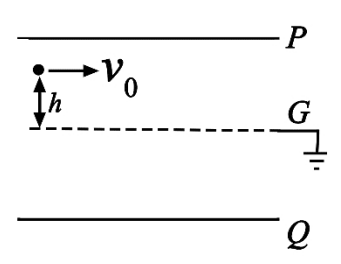
112.(2019•天津卷•T14)2018 年,人类历史上第一架由离子引擎推动的飞机诞生,这种引擎不需要燃料,也无污染物排放。引擎获得推力的原理如图所示,进入电离室的气体被电离成正离子,而后飘入电极 A、B之间的匀强电场(初速度忽略不计),A、B间电压为 U,使正离子加速形成离子束,在加速过程中引擎获得恒定的推力。单位时间内飘入的正离子数目为定值,离子质量为 m,电荷量为 Ze,期中 Z 是正整数,e 是元电荷。



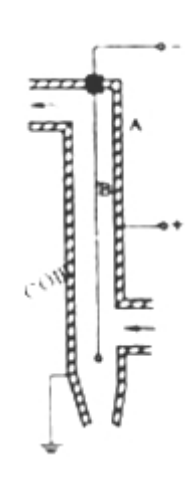
(1)若引擎获得的推力为 F₁, 求单位时间内飘入 A、B 间的正离子数目 N 为多少;

- (2)加速正离子束所消耗的功率 \mathbf{P} 不同时,引擎获得的推力 \mathbf{F} 也不同,试推导 $\frac{F}{P}$ 的表达式;
- (3)为提高能量的转换效率,要使 $\frac{F}{P}$ 尽量大,请提出增大 $\frac{F}{P}$ 的三条建议。

113.(2019•全国 II 卷•T11)如图,两金属板 P、Q 水平放置,间距为 d。两金属板正中间有一水平放置的金属网 G,PQG 的尺寸相同。G 接地,PQ 的电势均为 $\mathcal{P}(\mathcal{P}>0)$ 。质量为 m,电荷量为 q(q>0)的粒子自 G 的左端上方距离 G 为 h 的位置,以速度 v_0 平行于纸面水平射入电场,重力忽略不计。



- (1)求粒子第一次穿过 G 时的动能,以及她从射入电场至此时在水平方向上的位移大小;
- (1) 电场强度的大小:
- (2)B 运动到P 点时的动能。



116.(2012·海南卷·T12)N(N>1)个电荷量均为 q(q>0)的小球,均匀分布在半径为 R 的圆周上,示意如图。若移去位于圆周上 P 点的一个小球,则圆心 O 点处的电场强度大小为______,方向_____。(已知静电力常量为 k)

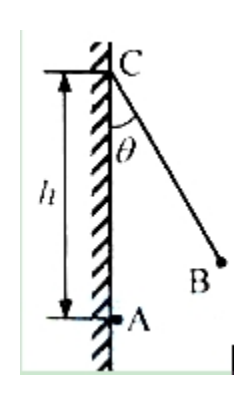


117.(2015·上海卷·T21)静电场是_______周围空间存在的一种物质;通常用来描述电场的能的性质。

118.(2016·上海卷 T24)如图,质量为 m 的带电小球 A 用绝缘细线悬挂于 O 点,处于静止状态。施加一水平向右的匀强电场后 A 向右摆动,摆动的最大角度为 60° ,则 A 受到的电场力大小为____。在改变电场强度的大小和方向后,小球 A 的平衡位置在 $\alpha=60^\circ$ 处,然后再将 A 的质量改变为 2 m,其新的平衡位置在 $\alpha=30^\circ$ 处,A 受到的电场力大小为____。



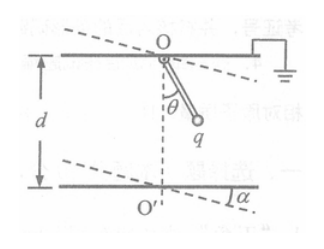
119.(2014·上海卷)如图,竖直绝缘墙上固定一带电小球 A,将带电小球 B 用轻质绝缘丝线悬挂在 A 的正上方 C 处,图中 AC=h。当 B 静止在与竖直方向夹角 $\theta=30^\circ$ 方向时,A 对 B 的静电力为 B 所受重力的 $\frac{\sqrt{3}}{3}$ 倍,则丝线 BC 长度为___。若 A 对 B 的静电力为 B 所受重力的 0.5 倍,改变丝线长度,使 B 仍能在 $\theta=30^\circ$ 处平衡。以后由于 A 漏电, B 在竖直平面内缓慢运动,到 $\theta=0^\circ$ 处 A 的电荷尚未漏完,在整个漏电过程中,丝线上拉力大小的变化情况是



120.(2012·全国卷)如图,一平行板电容器的两个极板竖直放置,在两极板间有一带电小球,小球用一绝缘轻线悬挂于 O 点。先给电容器缓慢充电,使两级板所带电荷量分别为 + Q 和 - Q,此时悬线与竖直方向的夹角为 $\pi/6$ 。再给电容器缓慢充电,直到悬线和竖直方向的夹角增加到 $\pi/3$,且小球与两极板不接触。求第二次充电使电容器正极板增加的电荷量。



121.(2014·上海卷·T32)如图,一对平行金属板水平放置,板间距为 d,上极板始终接地。长度为 d/2、质量均匀的绝缘杆,上端可绕上板中央的固定轴 0 在竖直平面内转动,下端固定一带正电的轻质小球,其电荷量为 q。当两板间电压为 U_1 时,杆静止在与竖直方向 OO'夹角 $\theta=30^\circ$ 的位置;若两金属板在竖直平面内同时绕 O、O'顺时针旋转 $\alpha=15$ 至图中虚线位置时,为使杆仍在原位置静止,需改变两板间电压。假定两板间始终为匀强电场。求:



(1)绝缘杆所受的重力 G;

(2)两板旋转后板间电压 U₂。

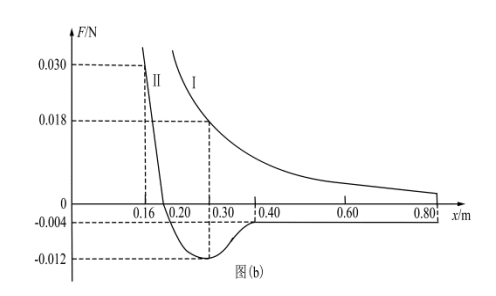
(3)在求前后两种情况中带电小球的电势能 W_1 与 W_2 时,某同学认为由于在两板旋转过程中带电小球位置未变,电场力不做功,因此带电小球的电势能不变。你若认为该同学的结论正确,计算该电势能;你若认为该同学的结论错误,说明理由并求 W_1 与 W_2 。

122.(2016·上海卷)如图(a),长度 L=0.8 m 的光滑杆左端固定一带正电的点电荷 A , 其电荷量 Q=1.8×10 $^{-7}$ C ;一质量 m=0.02 kg,带电量为 q 的小球 B 套在杆上。

将杆沿水平方向固定于某非均匀外电场中,以杆左端为原点,沿杆向右为 x 轴正方向建立坐标系。点电荷 A 对小球 B 的作用力随 B 位置 x 的变化关系如图(b)中曲线 I 所示,小球 B 所受水平方向的合力随 B 位置 x 的变化关系如图(b)中曲线 II 所示,其中曲线 II 在 $0.16 \le x \le 0.20$ 和 $x \ge 0.40$ 范围可近似看作直线。求:(静电力常量 $k = 9 \times 10^9$ N·m/C²)

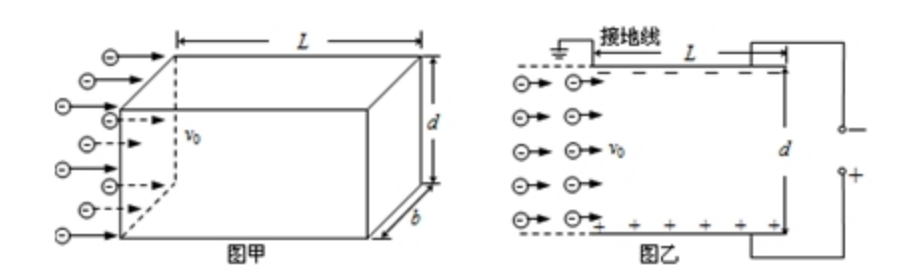
$$A \xrightarrow{Q} O \xrightarrow{\mathbb{R}(a)} x$$

- (1)小球 B 所带电量 q;
- (2) 非均匀外电场在 x=0.3 m 处沿细杆方向的电场强度大小 E;
- (3)在合电场中, x=0.4 m 与 x=0.6 m 之间的电势差 U;
- (4)已知小球在 x=0.2 m 处获得 v=0.4 m/s 的初速度时,最远可以运动到 x=0.4 m。若小球在 x=0.16 m 处受到方向向右,大小为 0.04 N 的恒力作用后,由静止开始运动,为使小球能离开细杆,恒力作用的最小距离 s 是多少?



123.(2011 浙江卷)如图甲所示,静电除尘装置中有一长为 L、宽为 b、高为 d 的矩形通道,其前、后面板使用绝缘材料,上、下面板使用金属材料。图乙是装置的截面图,上、下两板与电压恒定的高压直流电源相连。质量为 m、电荷量为-q、分布均匀的尘埃以水平速度 v_0 进入矩形通道,当带负电的尘埃碰到下板后其所带电

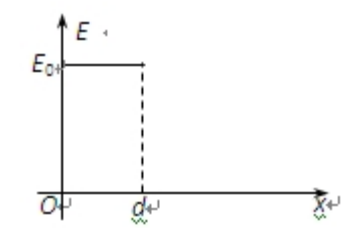
荷被中和,同时被收集。通过调整两板间距 d 可以改变收集效率 η 。当 $d=d_0$ 时 η 为 81%(即离下板 $0.81d_0$ 范围内的尘埃能够被收集)。不计尘埃的重力及尘埃之间的相互作用。



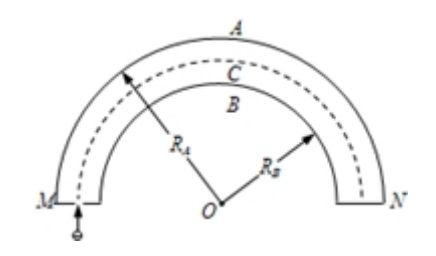
- (1)求收集效率为 100%时,两板间距的最大值为 d_m ;
- (2)求收集率 η 与两板间距d的函数关系;
- (3)若单位体积内的尘埃数为 n,求稳定工作时单位时间下板收集的尘埃质量 $\Delta M / \Delta t$ 与两板间距 d 的函数关系,并绘出图线。

124.(2012 北京卷·T24)匀强电场的方向沿 x 轴正方向,电场强度 E 随 x 的分布如图所示,图中 E_0 和 d 均为已知量.将带正电的质点 A 在 O 点由静止释放.A 离开电场足够远后,再将另一带正电的质点 B 放在 O 点也由静止释放.B 自由场中运动时,A、B 间的相互作用力及相互作用能均为零;B 离开电场后,A、B 间的相互作用视为静电作用.已知 A 的电荷量为 A0,A1 B2 的质量分别为 A2 A3 A4 A5 A5 A6 A7 A7 计重力.

- (1)求 A 在电场中的运动时间 t;
- (2)若 B 的电荷量为 $q=\frac{4}{9}Q$,求两质点相互作用能的最大值 E_{pm} ;
- (3)为使 B 离开电场后不改变运动方向,求 B 所带电荷量的最大值 q_m .



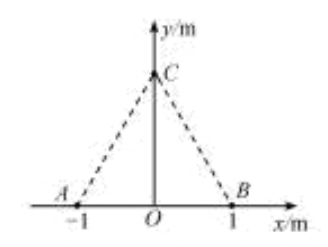
125.(2013 浙江卷)"电子能量分析器"主要由处于真空中的电子偏转器和探测板组成。偏转器是由两个相互绝缘、半径分别为 R_A 和 R_B 的同心圆金属半球面 A 和 B 构成,A、B 为电势值不等的等势面,其过球心的截面如图所示。一束电荷量为 e、质量为 m 的电子以不同的动能从偏转器左端 M 的正中间小孔垂直入射,进入偏转电场区域,最后到达偏转器右端的探测板 N,其中动能为 E_{k0} 的电子沿等势面 C 做匀速圆周运动到达 N 板的正中间。忽略电场的边缘效应。



- (1)判断球面 A、B 的电势高低, 并说明理由;
- (2)求等势面 C 所在处电场强度 E 的大小;
- (3)若半球面 A、B 和等势面 C 的电势分别为 ϕ_A 、 ϕ_B 和 ϕ_C ,则到达 N 板左、右边缘处的电子,经过偏转电场前、后的动能改变量 $\Delta E_{K, \pm}$ 和 $\Delta E_{K, \pm}$ 分别为多少? (4)比较 $|\Delta E_{K, \pm}|$ 和 $|\Delta E_{K, \pm}|$ 的大小,并说明理由。

126.(2014·福建卷)如图,真空中 xOy 平面直角坐标系上的 ABC 三点构成等边三角形,边长 L=2.0m。若将电荷量均为 $q=+2.0\times10^{-6}C$ 的两点电荷分别固定在 A、B点,已知静电力常量 $k=9.0\times10^{9}N\cdot m^{2}/C^{2}$ 。求:

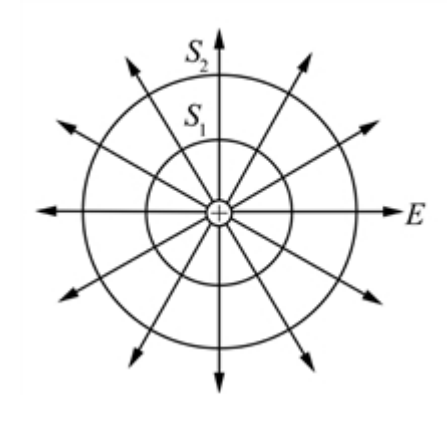
- (1)两点电荷间的库仑力大小;
- (2)C 点的电场强度的大小和方向。



127.(2018·北京卷·T12)(1)静电场可以用电场线和等势面形象描述。

a.请根据电场强度的定义和库仑定律推导出点电荷 Q 的场强表达式;

b.点电荷的电场线和等势面分布如图所示,等势面 S_1 、 S_2 到点电荷的距离分别为 r_1 、 r_2 。我们知道,电场线的疏密反映了空间区域电场强度的大小。请计算 S_1 、 S_2 上单位面积通过的电场线条数之比 N_1/N_2 。



(2)观测宇宙中辐射电磁波的天体,距离越远单位面积接收的电磁波功率越小,观测越困难。为了收集足够强的来自天体的电磁波,增大望远镜口径是提高天文观测能力的一条重要路径。2016年9月25日,世界上最大的单口径球面射电望远镜 FAST 在我国贵州落成启用,被誉为"中国天眼"。FAST 直径为500 m,有效提高了人类观测宇宙的精度和范围。

a.设直径为 $100 \, m$ 的望远镜能够接收到的来自某天体的电磁波功率为 P_1 ,计算 FAST 能够接收到的来自该天体的电磁波功率 P_2 ;

b.在宇宙大尺度上,天体的空间分布是均匀的,仅以辐射功率为 P 的同类天体为观测对象,设直径为 100~m 望远镜能够观测到的此类天体数目是 N_0 ,计算 FAST 能够观测到的此类天体数目 N_0 。

128.(2010·江苏卷·T15)(16 分)制备纳米薄膜装置的工作电极可简化为真空中间距为 d 的两平行极板,如图甲所示,加在极板 A、B 间的电压 U_{AB} 作周期性变化,其正向电压为 U_0 ,反向电压为 $-kU_0(k>1)$,

电压变化的周期为 2r,如图乙所示。在 t=0 时,极板 B 附近的一个电子,质量为 m、电荷量为 e,受电场作用由静止开始运动。若整个运动过程中,电子未碰到极板 A,且不考虑重力作用。

- (1)若 $k = \frac{5}{4}$, 电子在 0—2r 时间内不能到达极板 A, 求 d 应满足的条件;
- (2)若电子在 0—200r 时间未碰到极板 B,求此运动过程中电子速度 v 随时间 t 变化的关系;
- (3)若电子在第 N 个周期内的位移为零,求 k 的值。

